

Le microbiote intestinal humain et son impact sur la santé

Jean-Marc Chatel

Equipe “Interactions des Commensales et des Probiotiques avec l’Hôte”

**MICALIS
INRA**

**78352 Jouy en Josas
FRANCE**



MICALIS

MICrobiologie de l'ALimentation au service de la Santé humaine

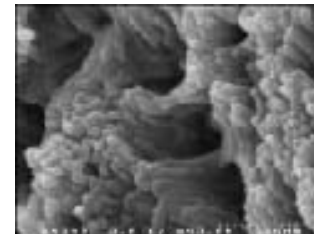
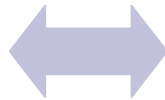
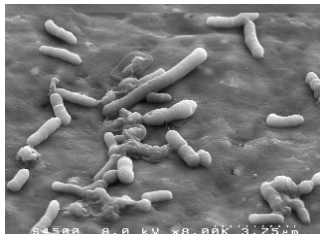
- 3 Pôles:
 - les déterminants moléculaires des dangers microbiologiques associés aux aliments
 - le fonctionnement intégré de la cellule microbienne
 - **l'écosystème microbien digestif de l'homme et son rôle dans la préservation de la santé.**
-
- 340 personnes, 110 chercheurs, 40 équipes

A pluridisciplinary laboratory

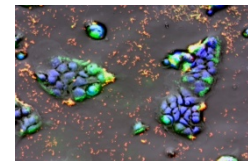
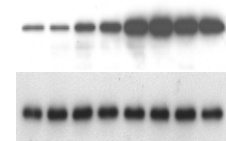
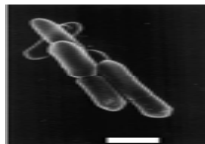
Crosstalk host-transiting and resident microbiota

Two major objectives:

1. Mechanisms of the beneficial effects of probiotic and commensal bacteria (particularly anti-inflammatory ones)
2. Host responses to probiotics and commensal bacteria



- ↳ Expertise in G+ bact as delivery vehicles
- ↳ Microbiology of commensal bacteria
- ↳ Molecular study of microbiota
- ↳ Biochemistry and enzymes purification
- ↳ Gnotobiotic rodents and inflammatory models
- ↳ Human clinical trials
- ↳ Cell culture
- ↳ Immuno-histochemistry



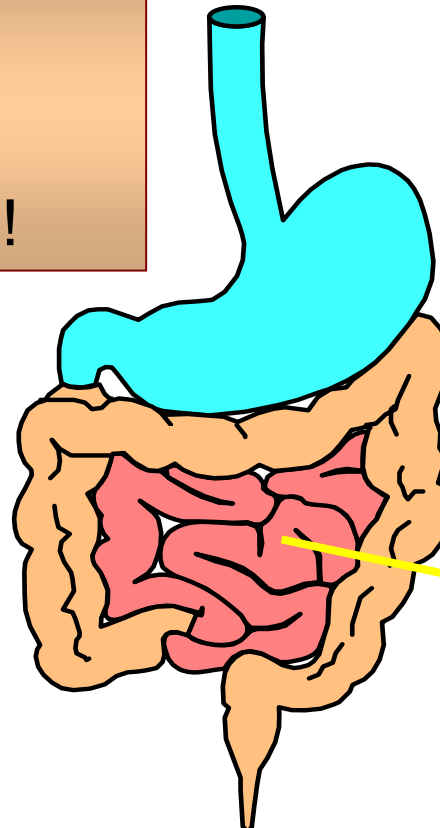
A combination of expertises to analyse essential functions of crosstalk host-microbiota

L'intestin, cet inconnu

Premier organe immunitaire
60 à 70% de nos cellules immunitaires!

Digestion et assimilation des aliments

Deuxième cerveau
100 millions de neurones!

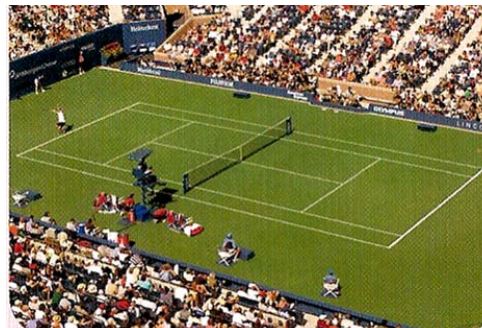


Microbiote intestinal
100 000 milliards de bactéries !

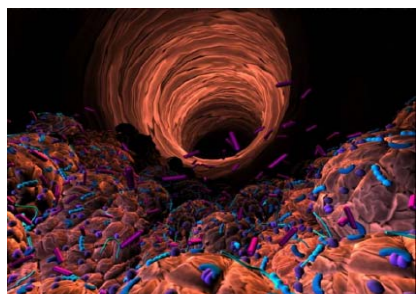
Le Tractus Digestif : une importante surface disponible pour le « Microbiote »



La surface dépliée de la muqueuse digestive humaine correspond à celle de 2 terrains de tennis (400 m^2)

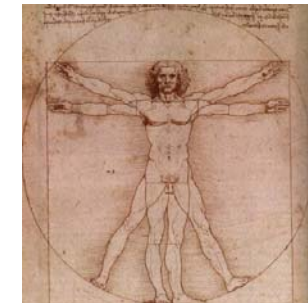


10 fois plus de bactéries dans l'intestin que de cellules composant le corps humain *(Savage et al., 1977)*

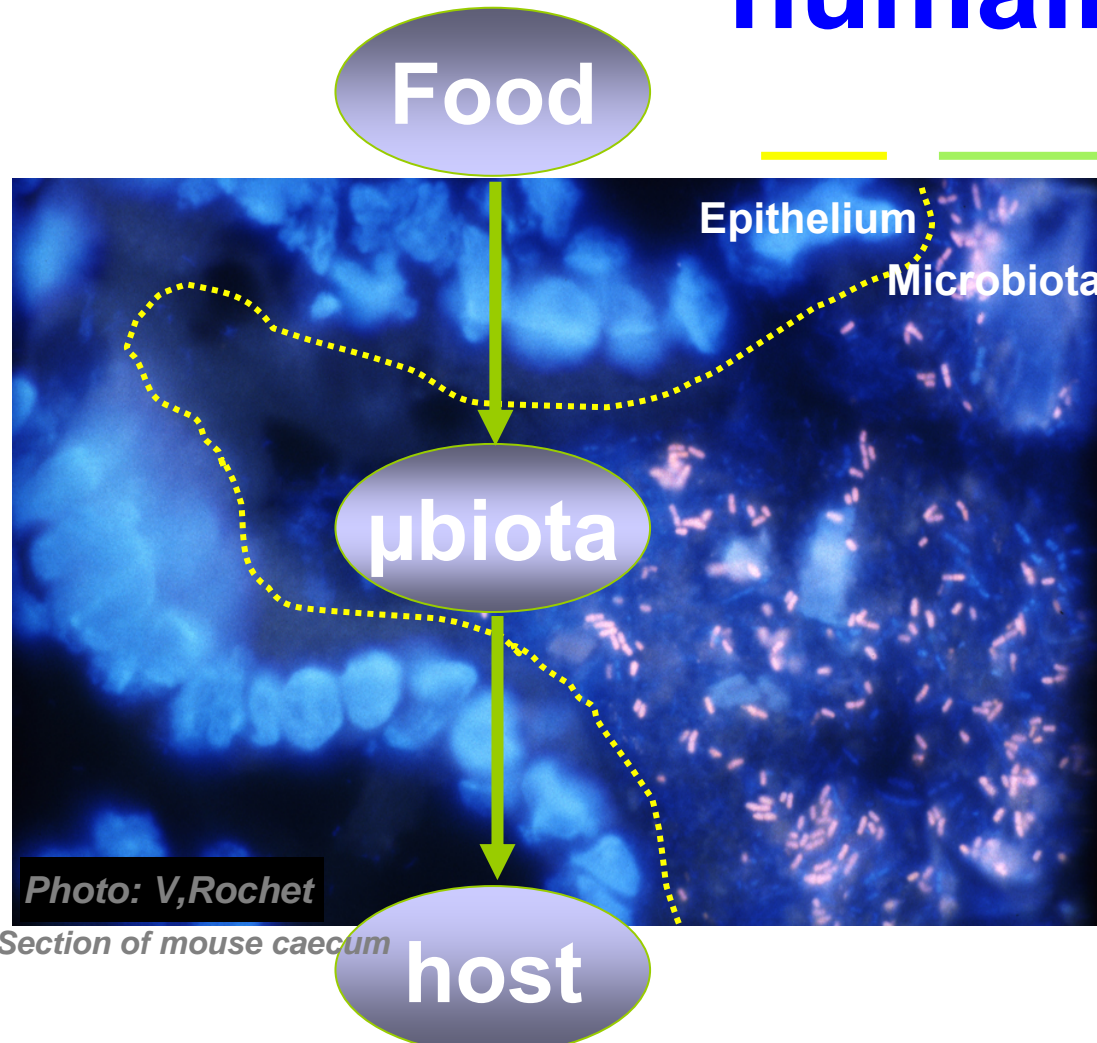


10^{14} bactéries (tube digestif)

10^{13} cellules (corps humain)



Le microbiote intestinal humain



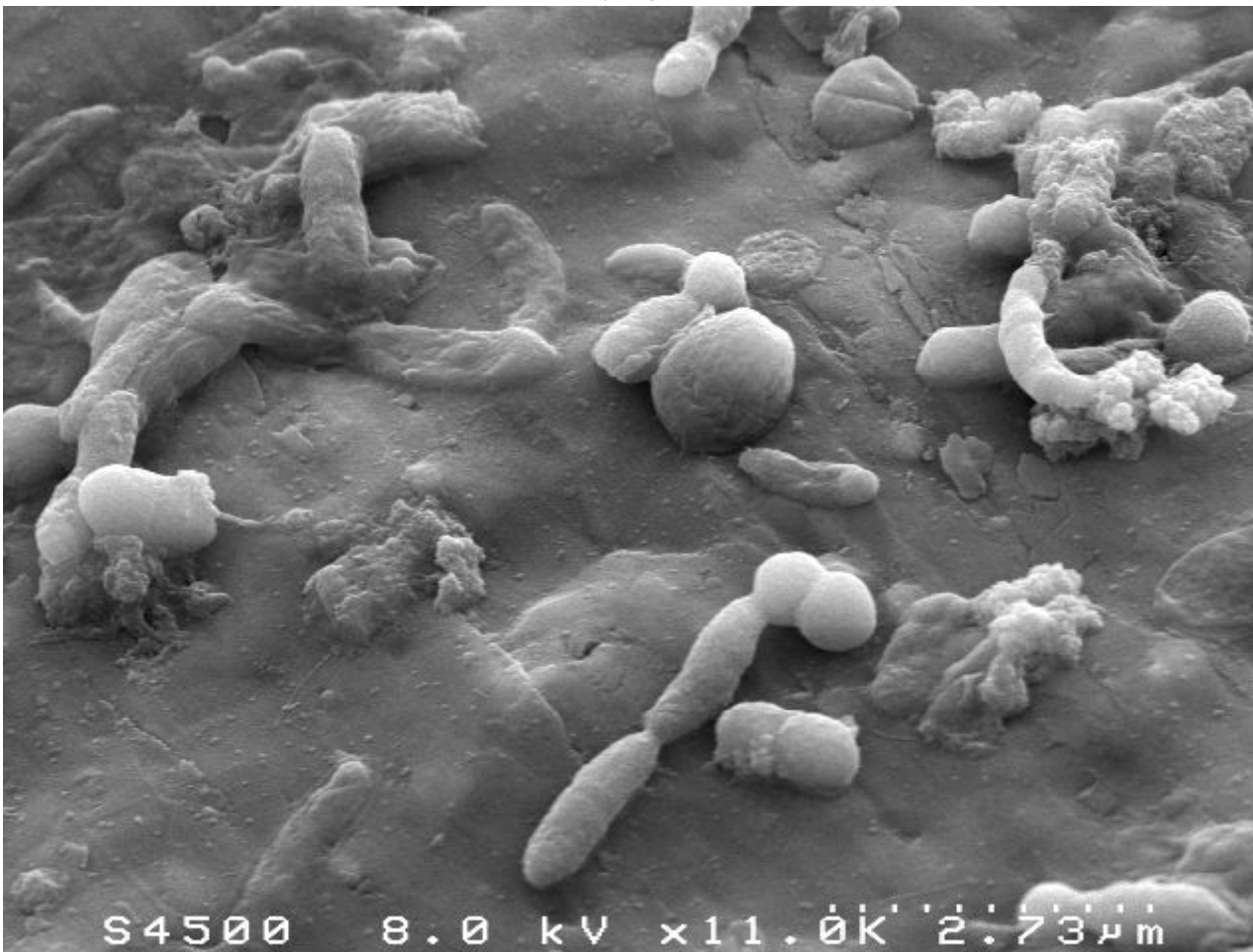
Santé ↔ Maladie

- Microbiote fécal :
 $>10^{11} \mu\text{org/g}$
- 10^{14} bactéries
- ~ 1000 espèces

- Adapté et fonctionnellement stable
 - Nutrition, physiologie, immunité et protection
 - Répertoire génétique :
~100 x génome humain

Clichés du microbiote

Microscopie électronique à balayage sur matières fécales humaines

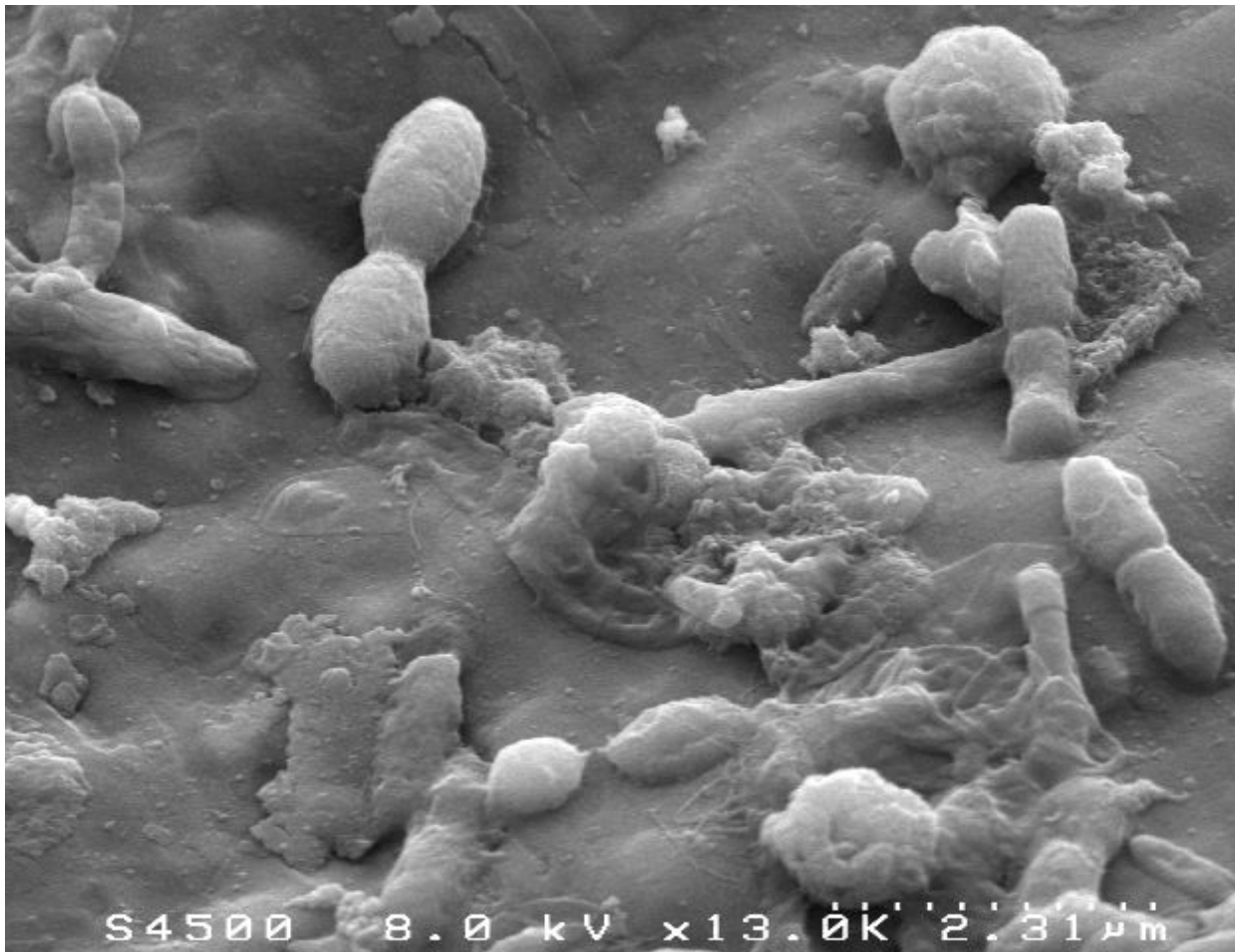


S4500 8.0 kV ×11.0k 2:73 μm

Diversité de la population bactérienne

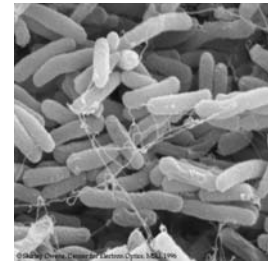
Clichés du microbiote

Microscopie électronique à balayage sur matières fécales humaines



Diversité de la population bactérienne

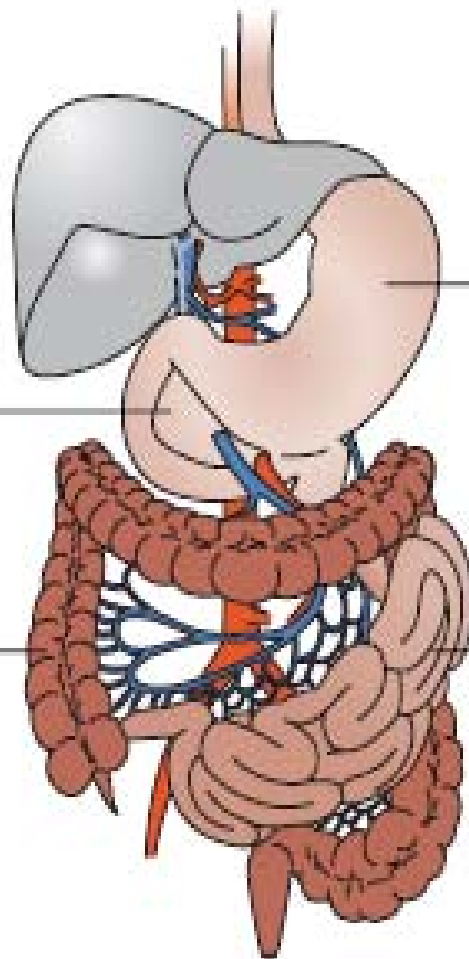
Le Microbiote Intestinal : Répartition



pH

Duodenum
 10^1-10^3 ufc/g

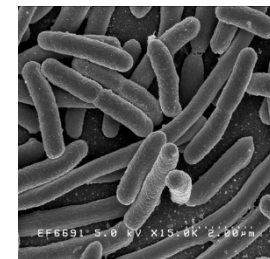
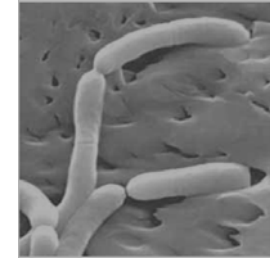
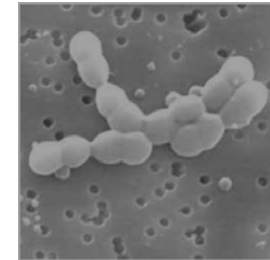
Côlon
 $10^{11}-10^{12}$ ufc/g
Bacteroides
Eubacterium
Clostridium
Ruminococcus
Bifidobacterium



↙O₂

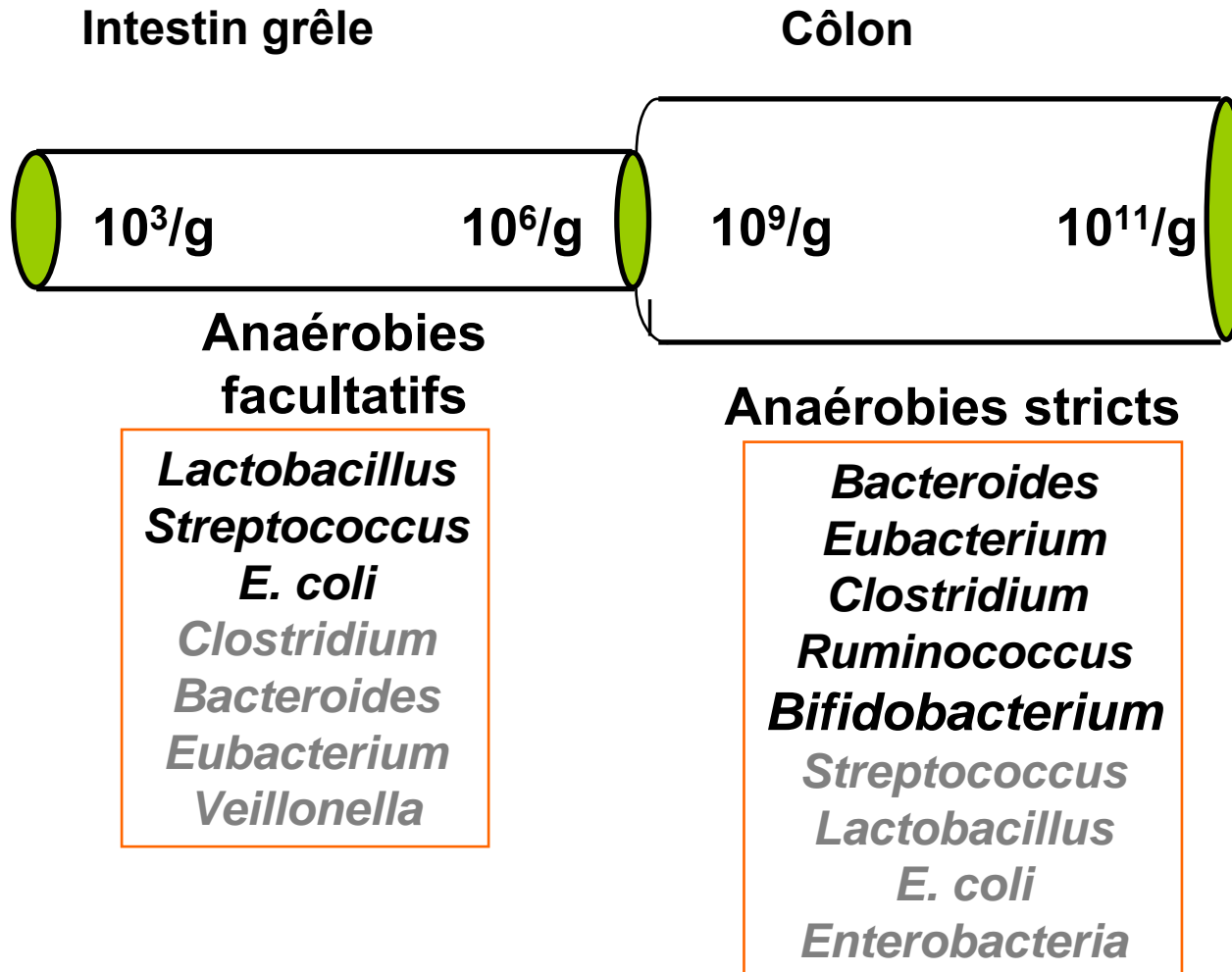
Estomac
 10^1-10^3 ufc/g
Streptococcus
Lactobacillus

Jejunum/Ileum
 10^4-10^7 ufc/g
Streptococcus
Lactobacillus
Enterobacteriaceae



(Ouwehand & Vesterlund, 2003)

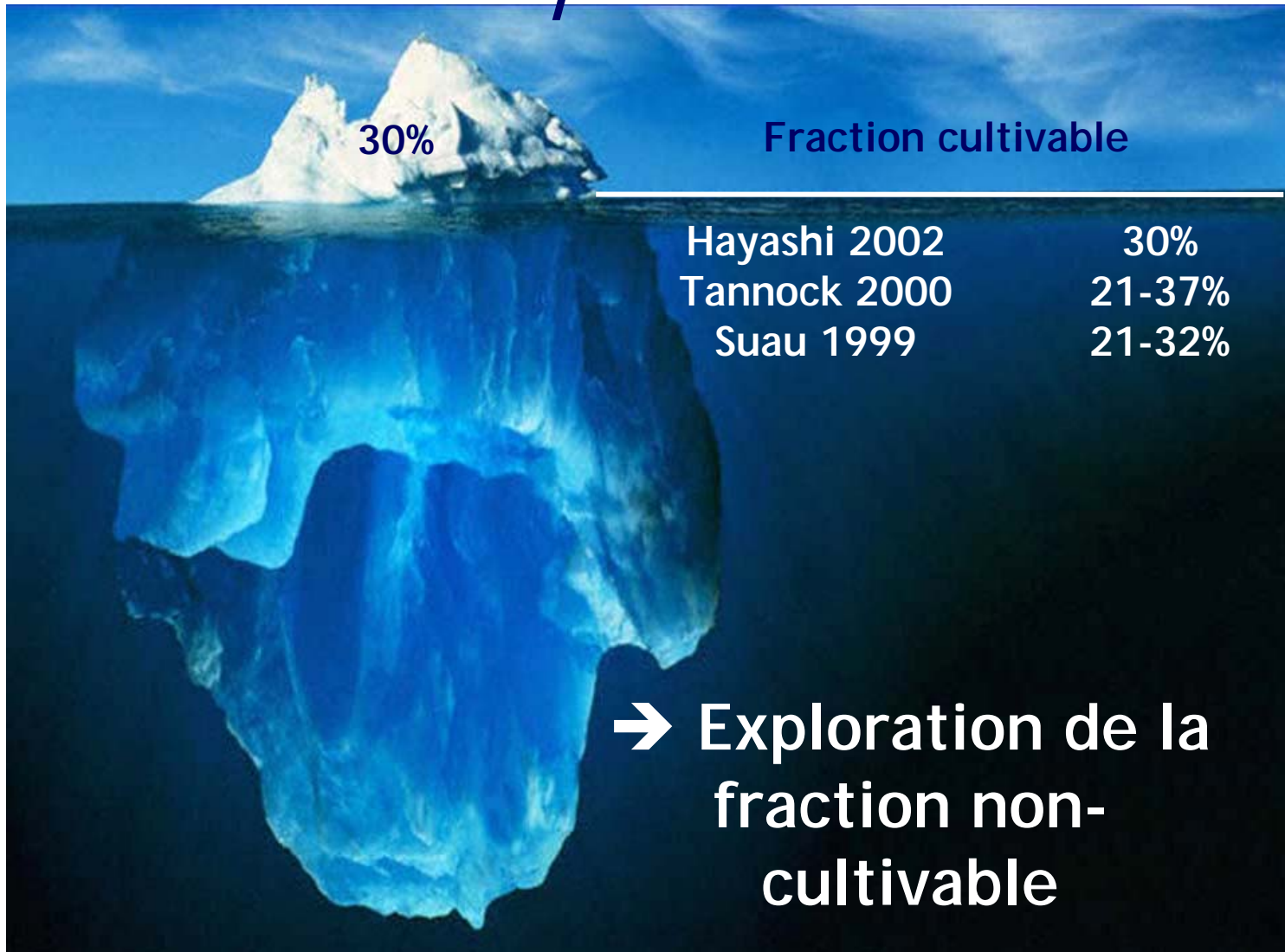
Microbiote intestinal



Le Microbiote Intestinal : Composition

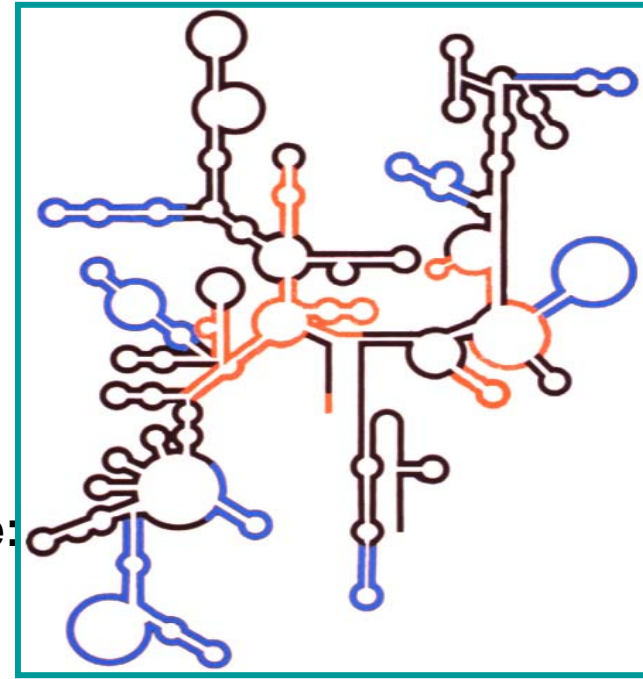
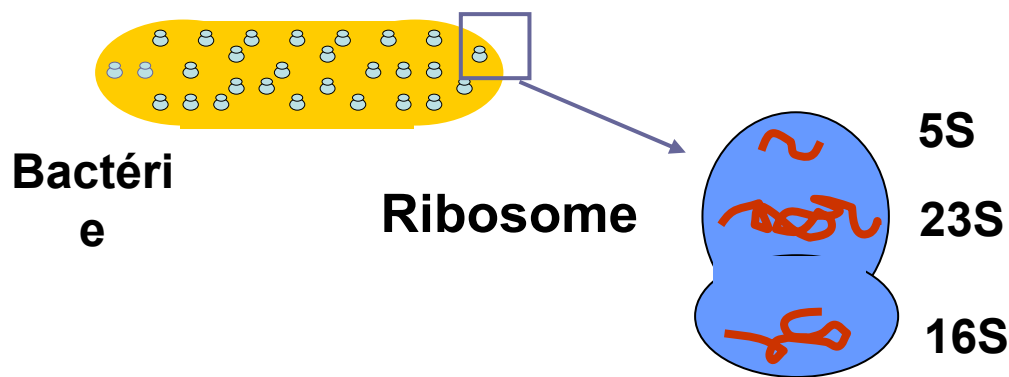


Le Microbiote Intestinal : Composition



Cible moléculaire: ARNr 16S bactérien

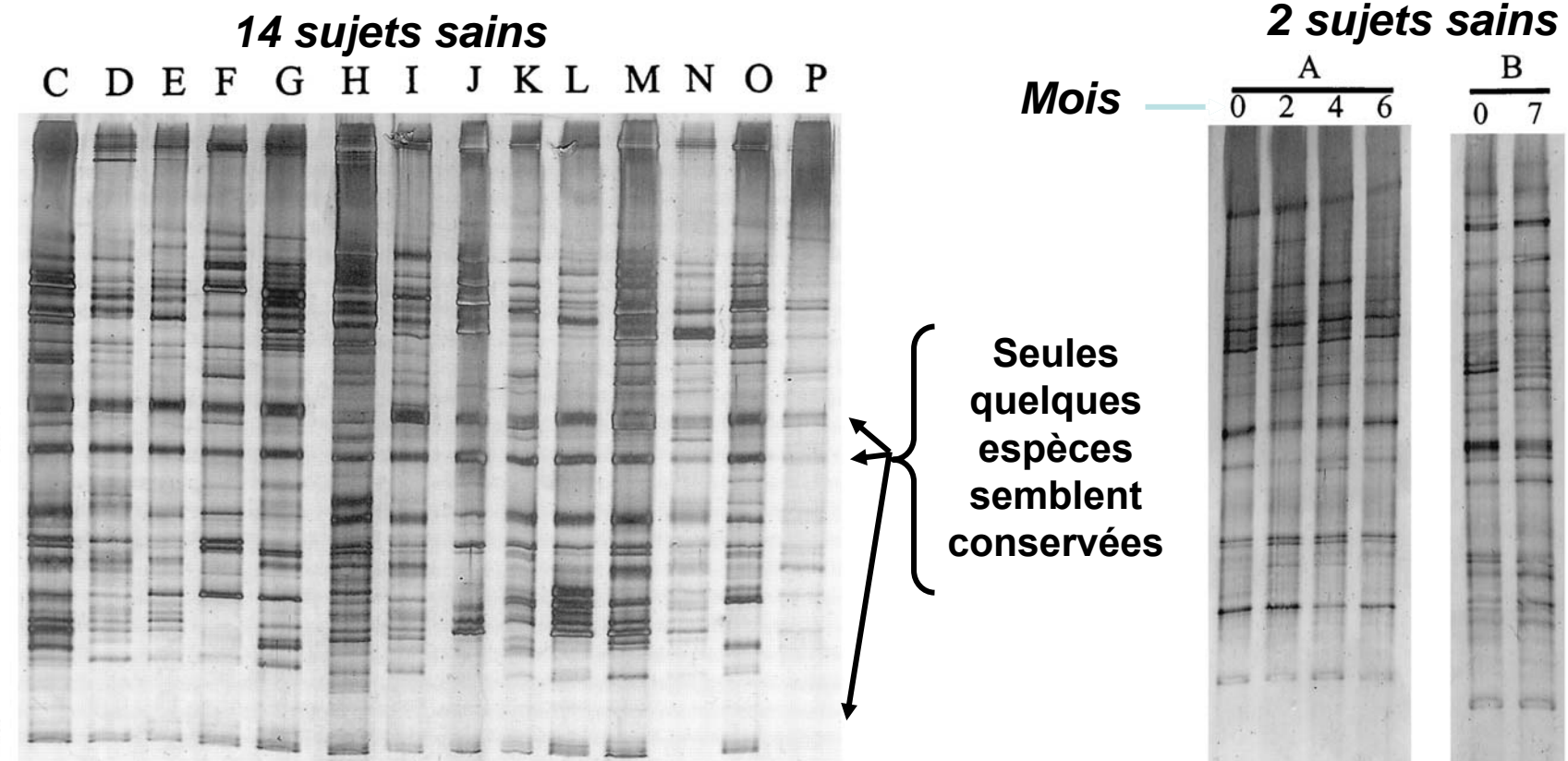
Structure de la molécule d'ARNr 16S:



Intérêts de cette molécule:

- ✓ Ubiquitaire
- ✓ Molécule naturellement amplifiée
- ✓ Structure primaire mosaïque
- ✓ Régions conservées → domaine *Bacteria*
- ✓ Régions variables → groupes bactériens
- ✓ Régions hypervariables → espèces bactériennes

Le microbiote intestinal est spécifique de chaque individu...



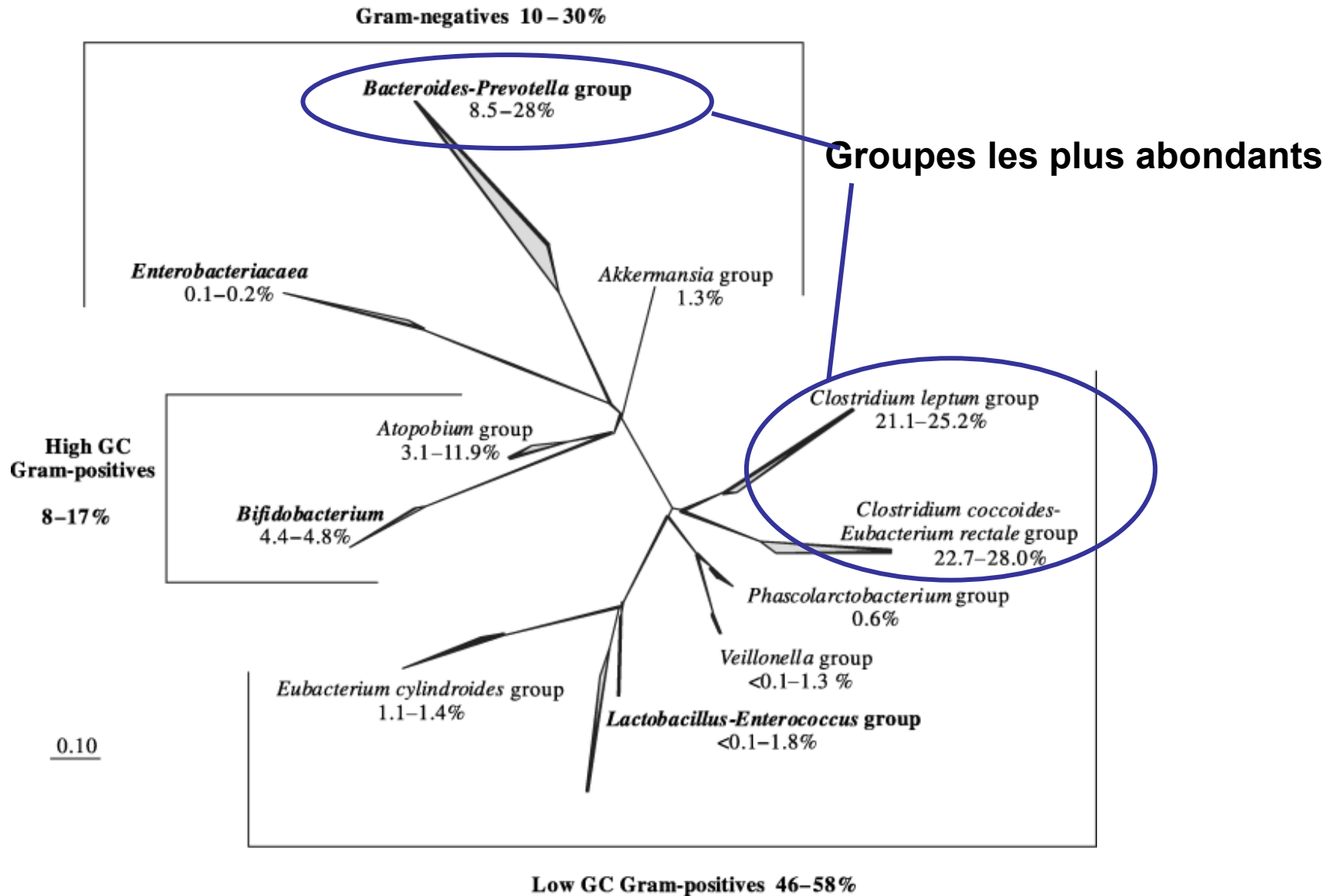
...et stable au cours du temps

Zoetendahl et al. 1998 ; Sutren et al. 2000

Vanhoutte et al. 2004

Seksik et al. 2003

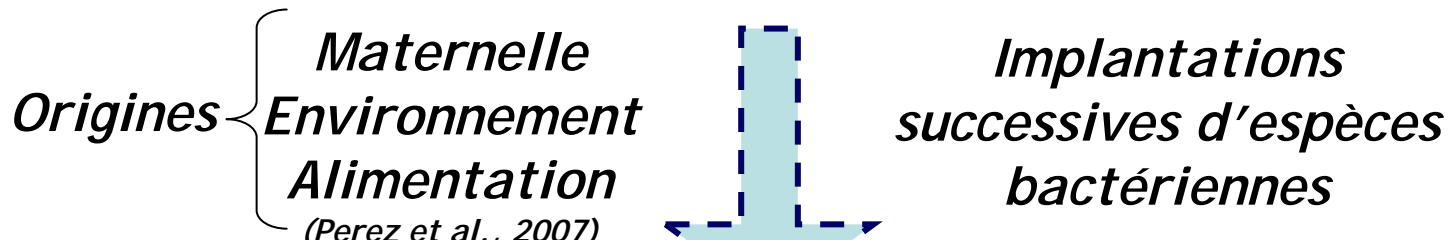
Arbre phylogénique du microbiote humain adulte



Colonisation du Microbiote Intestinal



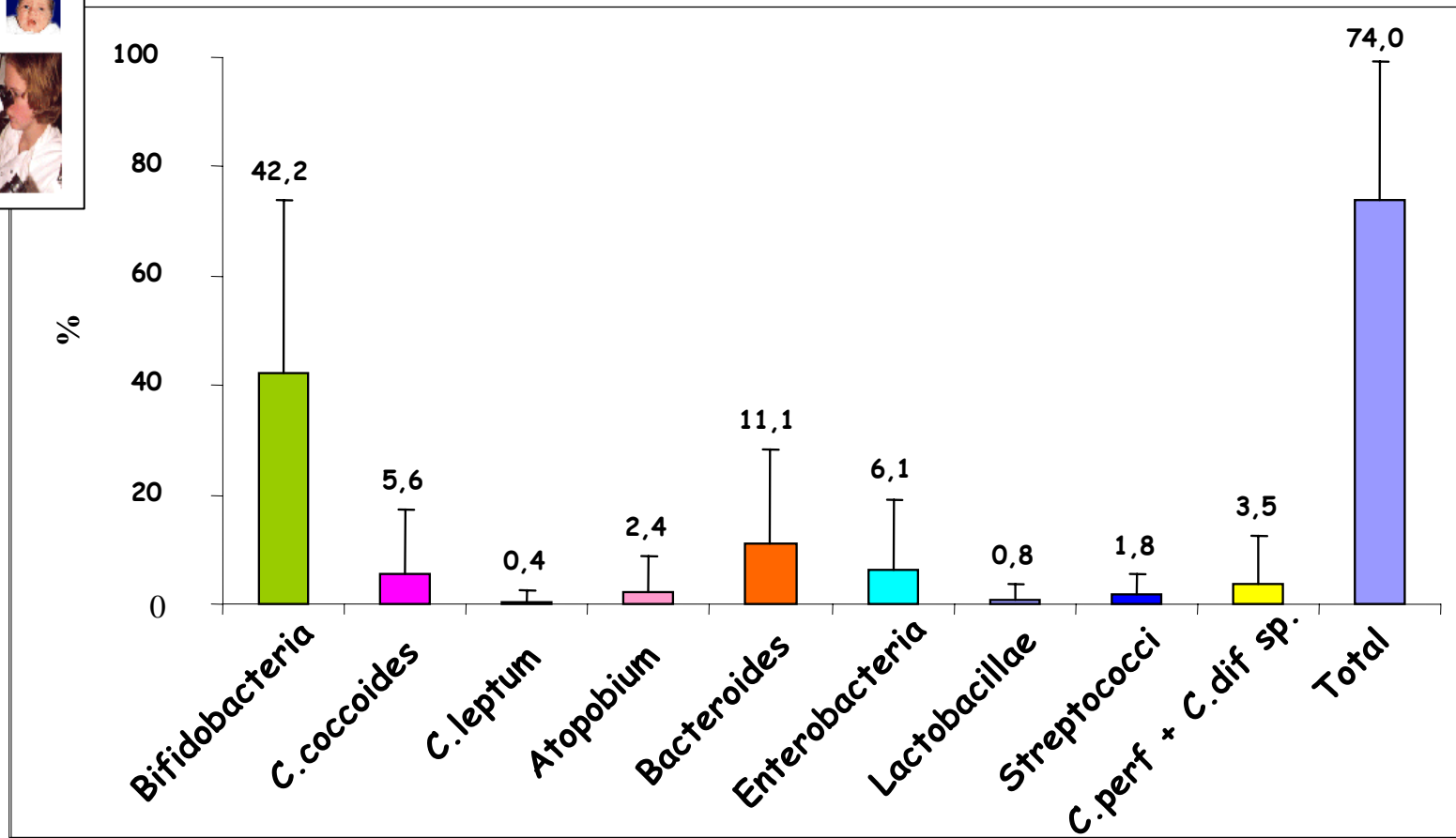
Naissance : tube digestif stérile (*Mackie et al., 1999*)



Acquisition du microbiote d'adulte (2 ans)
Biodiversité
Stabilité



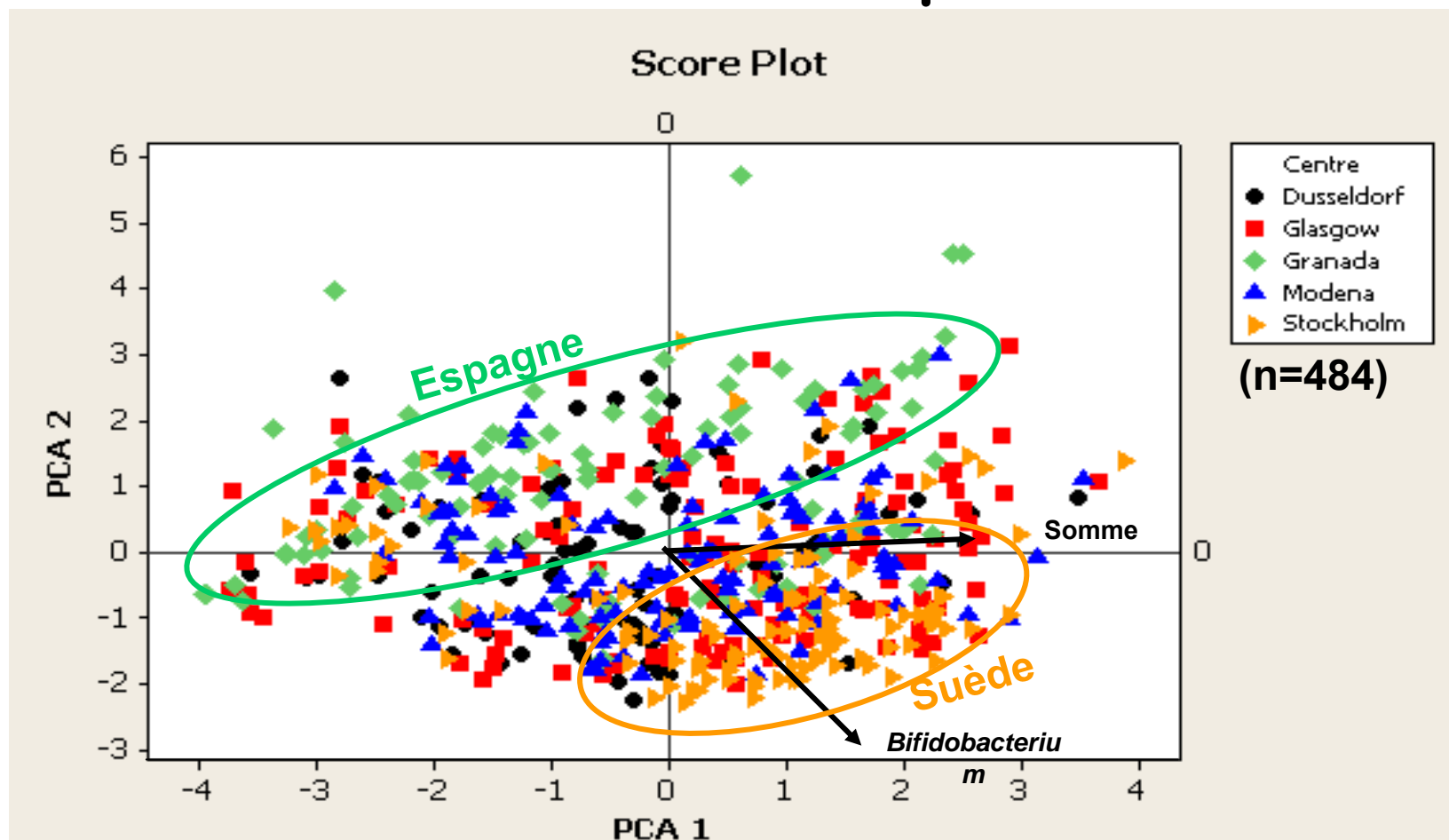
Microbiote fécal d'enfants à 6 semaines



Le microbiote fécal de l'enfant âgé de 6 semaines diffère de celui de l'adulte.

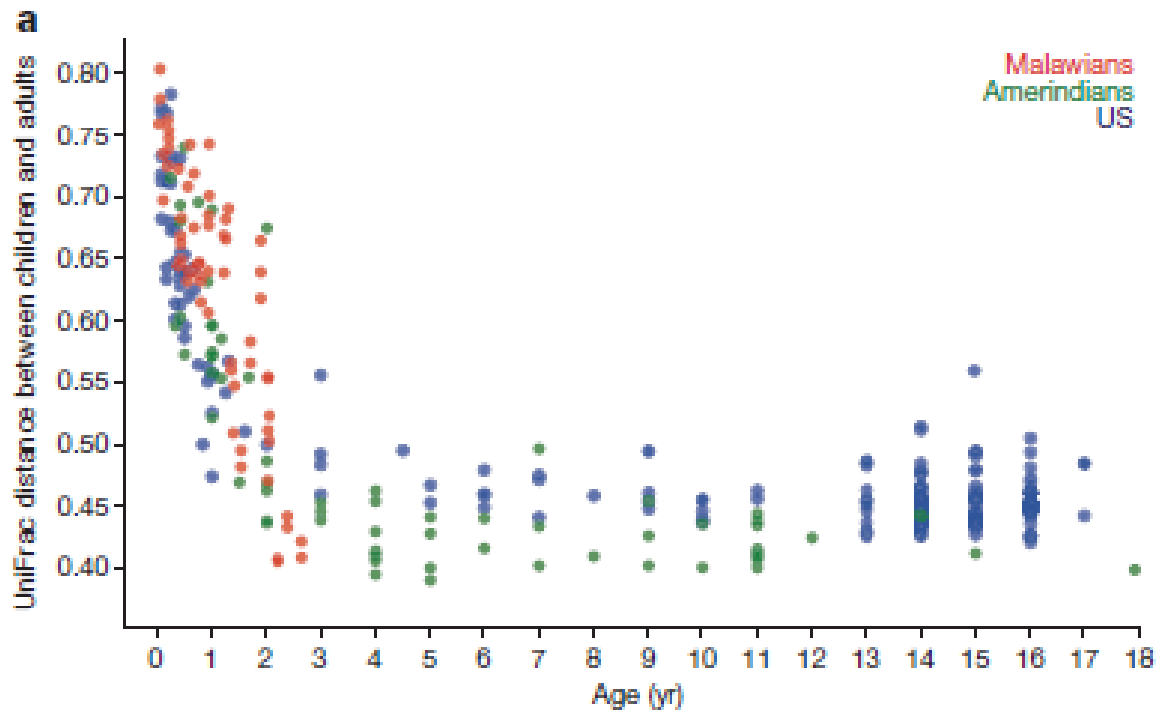
Le genre *Bifidobacterium* est le plus représenté :

Microbiote fécal d'enfants Européens à 6 semaines

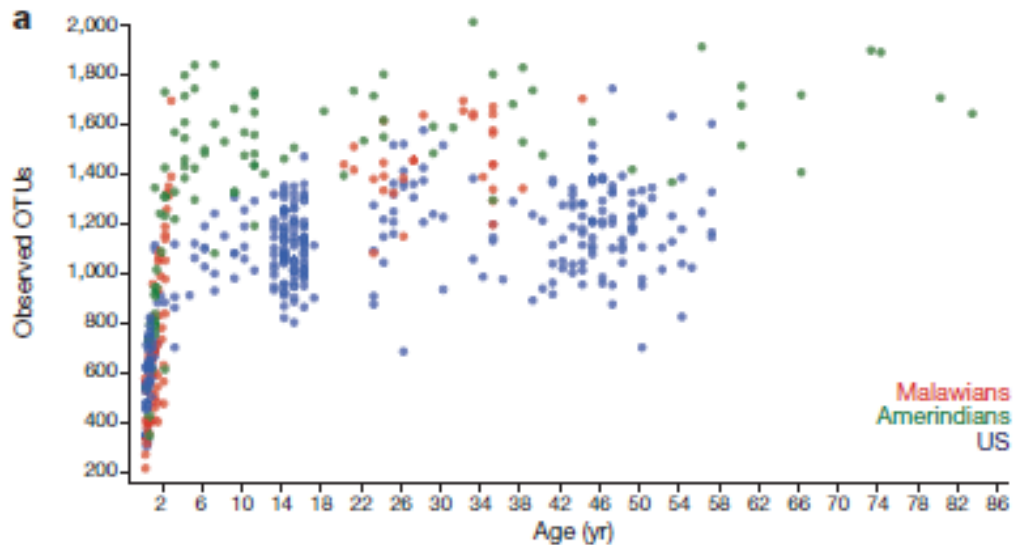


Le pays de naissance a une incidence notable sur la composition précoce du microbiote fécal.

Gradient Nord-Sud de la Suède à l'Espagne : plus de bifides au nord ; une diversification plus précoce au sud



Ce phénomène est vrai aussi bien dans les pays industrialisés que ruraux.



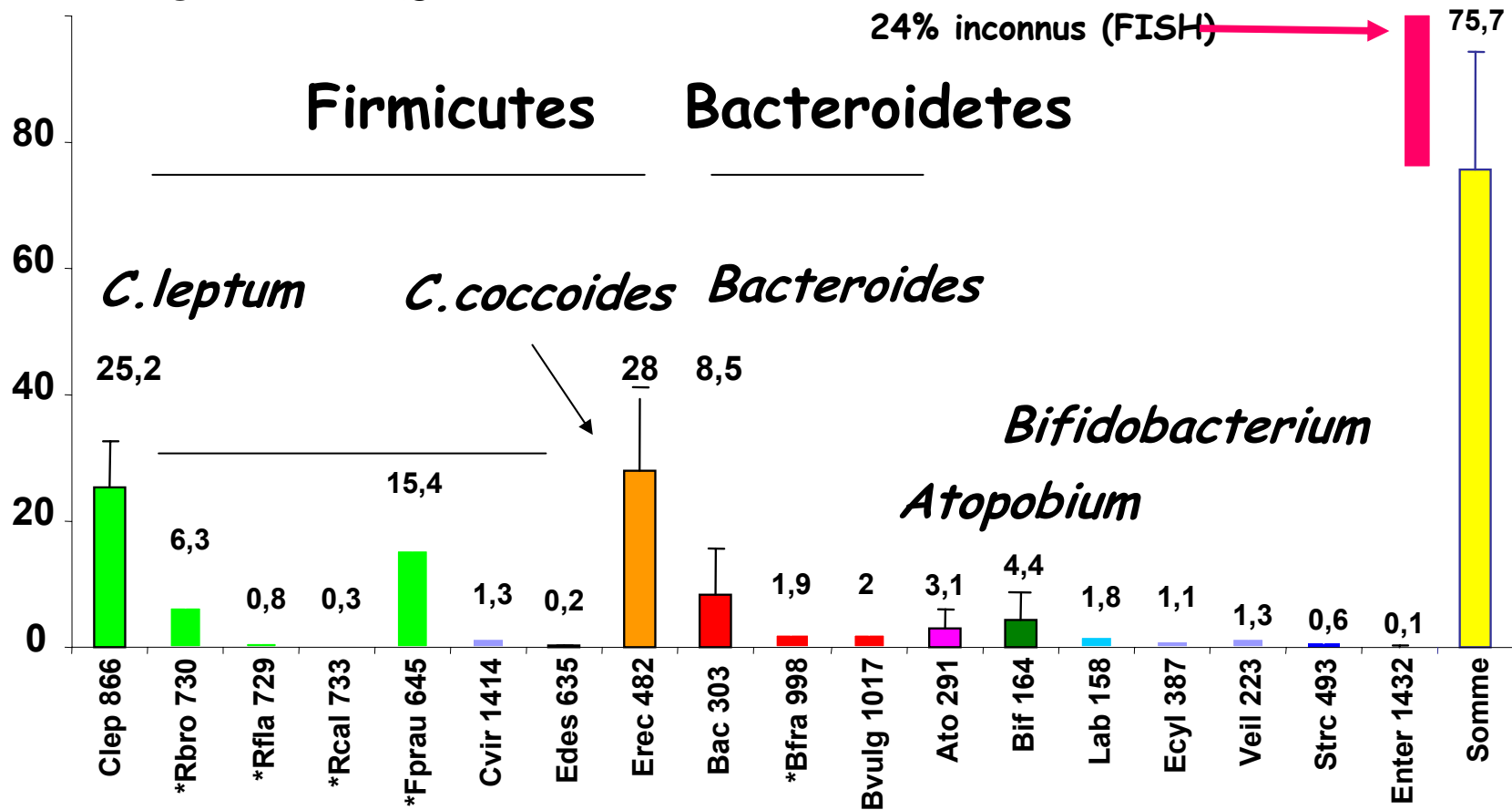
La diversité de composition du microbiote augmente avec l'âge dans toutes les populations.



Microbiote fécal d'adultes Européens

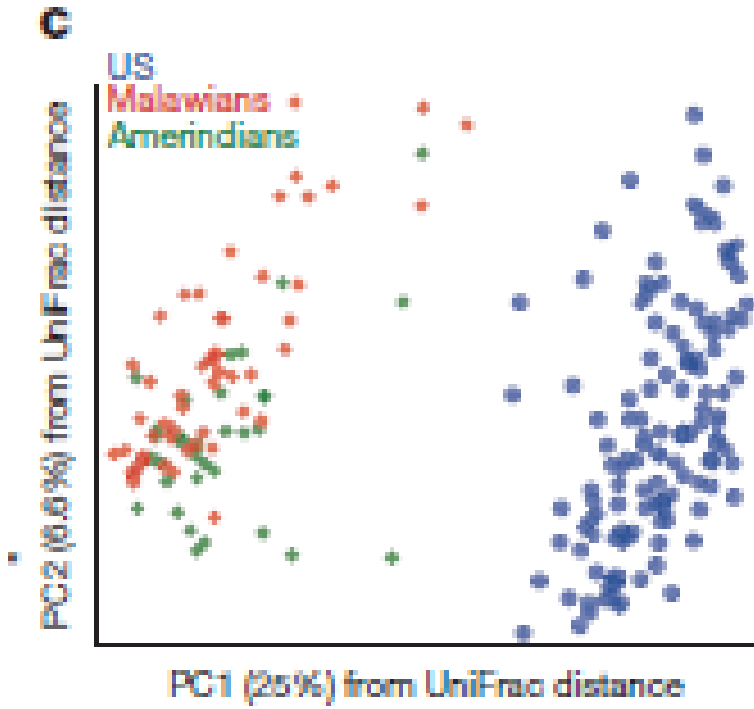
(n=91 de France, Danemark, Allemagne, Pays bas et Royaume uni)

Microbe Diagnostics EU QLK1-2000-0108 C

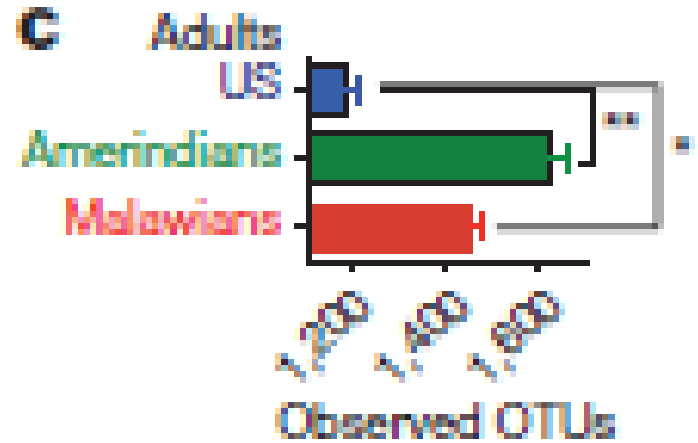


12 sondes d'hybridation reconnaissent 76% des bactéries détectables
5 groupes phylogénétiques sont dominants et hautement prévalents
Chez l'adulte, pas de différence significative entre les pays d'Europe étudiés.

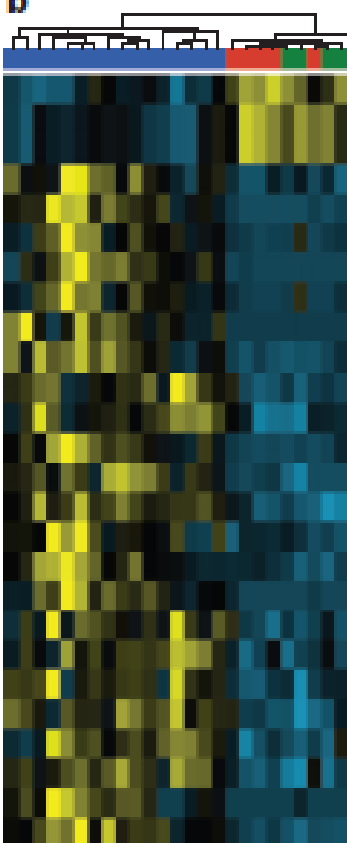
C. Lay et al., AEM, 2005



On peut voir des différences significatives si on regarde des populations plus éloignées.

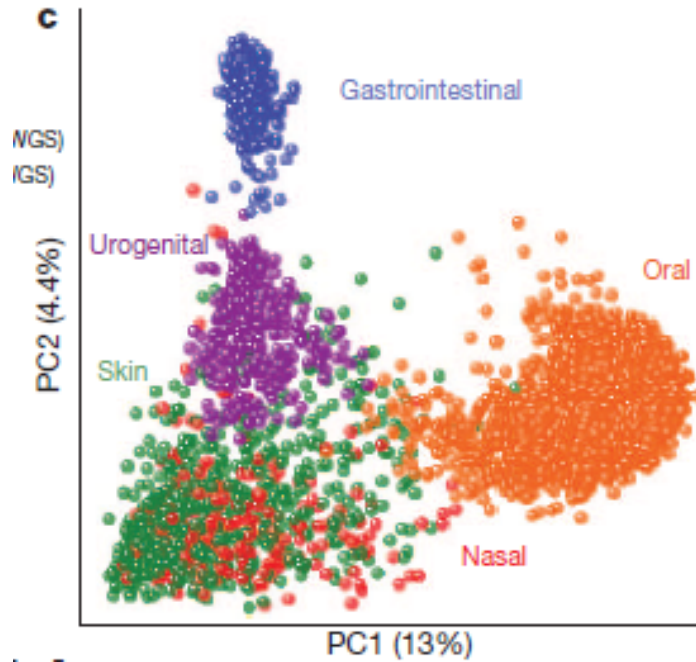


A l'age adulte la diversité varie selon les populations.

b**Adults**

- α -amylase EC3.2.1.1
- Glutamate synthase (NADH) EC1.4.1.14
- Glutamate synthase (NADPH) EC1.4.1.13
- Glutaminase EC3.5.1.2
- Glutamate decarboxylase EC4.1.1.16
- 1-pyrroline-5-carboxylate dehydrogenase EC1.5.1.12
- Aspartate 4-decarboxylase EC4.1.1.12
- Proline dehydrogenase EC1.5.99.8
- Ornithine aminotransferase EC2.6.1.13
- Lysine 2,3-aminomutase EC5.4.3.2
- L-iditol 2-dehydrogenase EC1.1.1.14
- 6-phosphofructokinase EC2.7.1.11
- Glucose-6-phosphate dehydrogenase EC1.1.1.49
- α -mannosidase EC3.2.1.24
- β -mannosidase EC3.2.1.26
- α -L-fucosidase EC3.2.1.51
- Adenosylmethionine- δ -amino- γ -oxononanoate transaminase EC2.6.1.62
- Lipoyl(octanoyl) transferase EC2.3.1.181
- Threonine-phosphate decarboxylase EC4.1.1.81
- Adenosylcobinamide-phosphate synthase EC6.3.1.10
- Hydroxybutyric acid α,ω -diamide synthase (glutamine-hydrolysing) EC6.3.5.9
- Adenosylcobyrinic acid synthase (glutamine-hydrolysing) EC6.3.5.10
- Nicotinate-nucleotide-dimethylbenzimidazole phosphoribosyltransferase EC2.4.2.21
- Choloylglycine hydrolase EC3.5.1.24
- Mercury(II) reductase EC1.16.1.1
- Phenylacetate-CoA ligase EC6.2.1.30

Cette différence de composition du microbiote se traduit aussi dans une différence de fonctions.



La composition du microbiote est fonction de l'écologie du système.

Les Aliments Fermentés contiennent de très nombreux Micro-Organismes Vivants



Vin
Choucroute
Saucisson

Produits laitiers
- Yaourt
- Lait fermentés
- Fromages

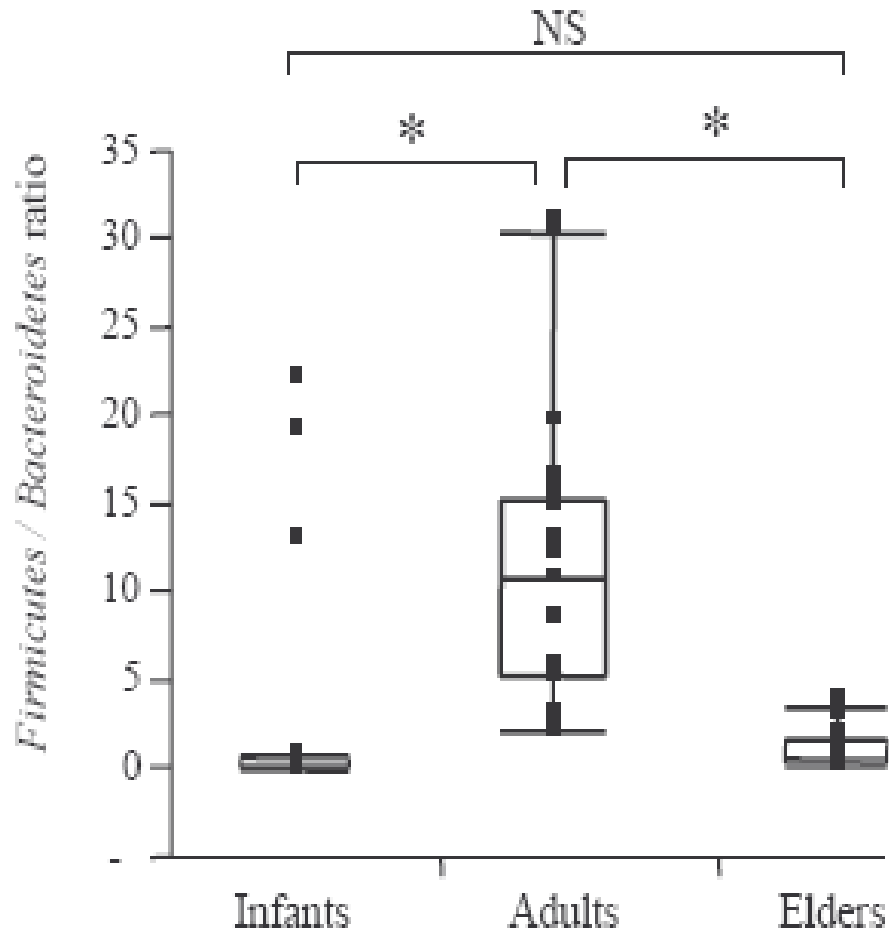


Compléments alimentaires

Quantitative PCR : Microbiota all along life



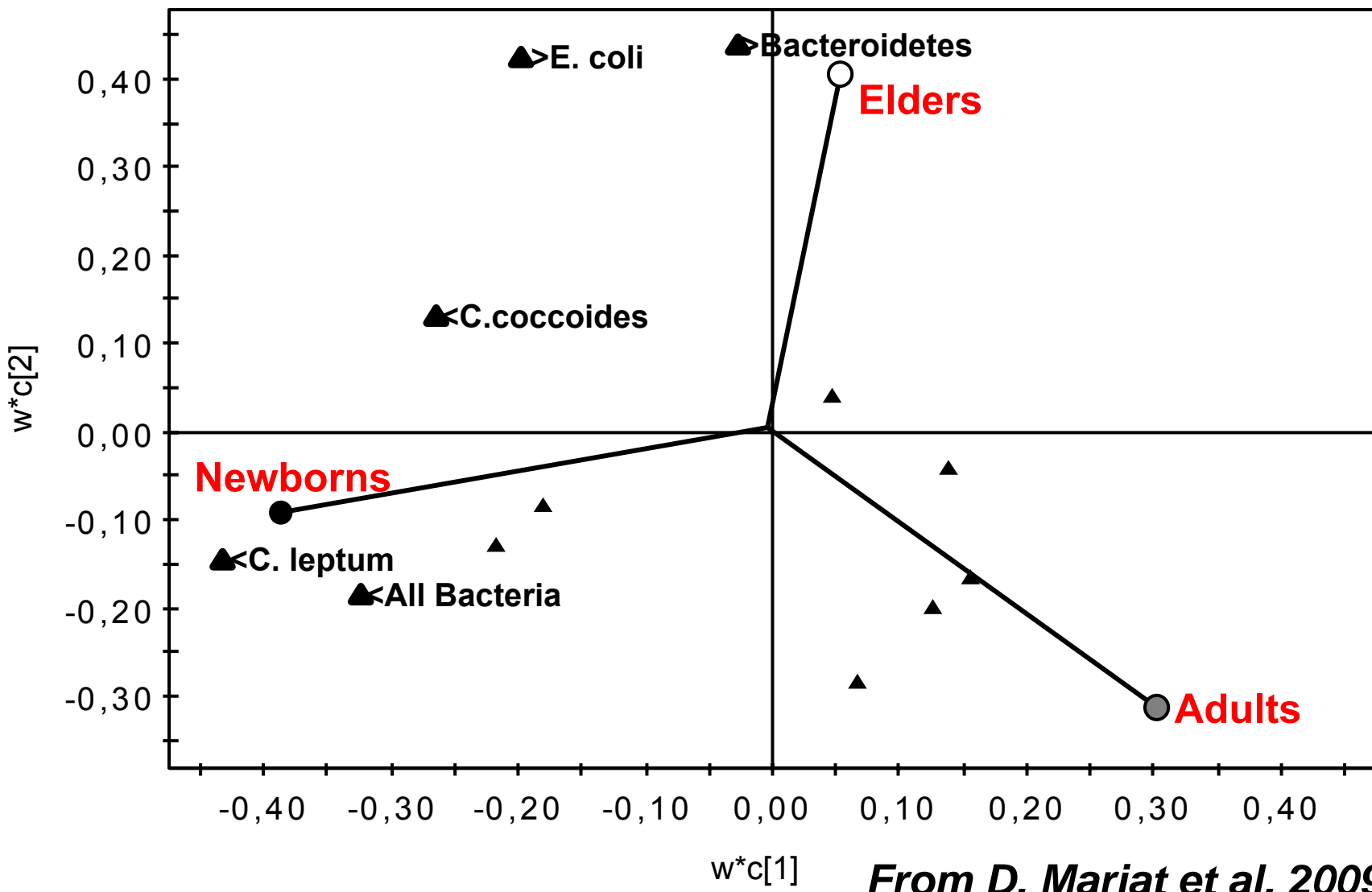
**Ratio
Firmicutes /
*Bacteroidetes***



From D. Mariat et al, 2009

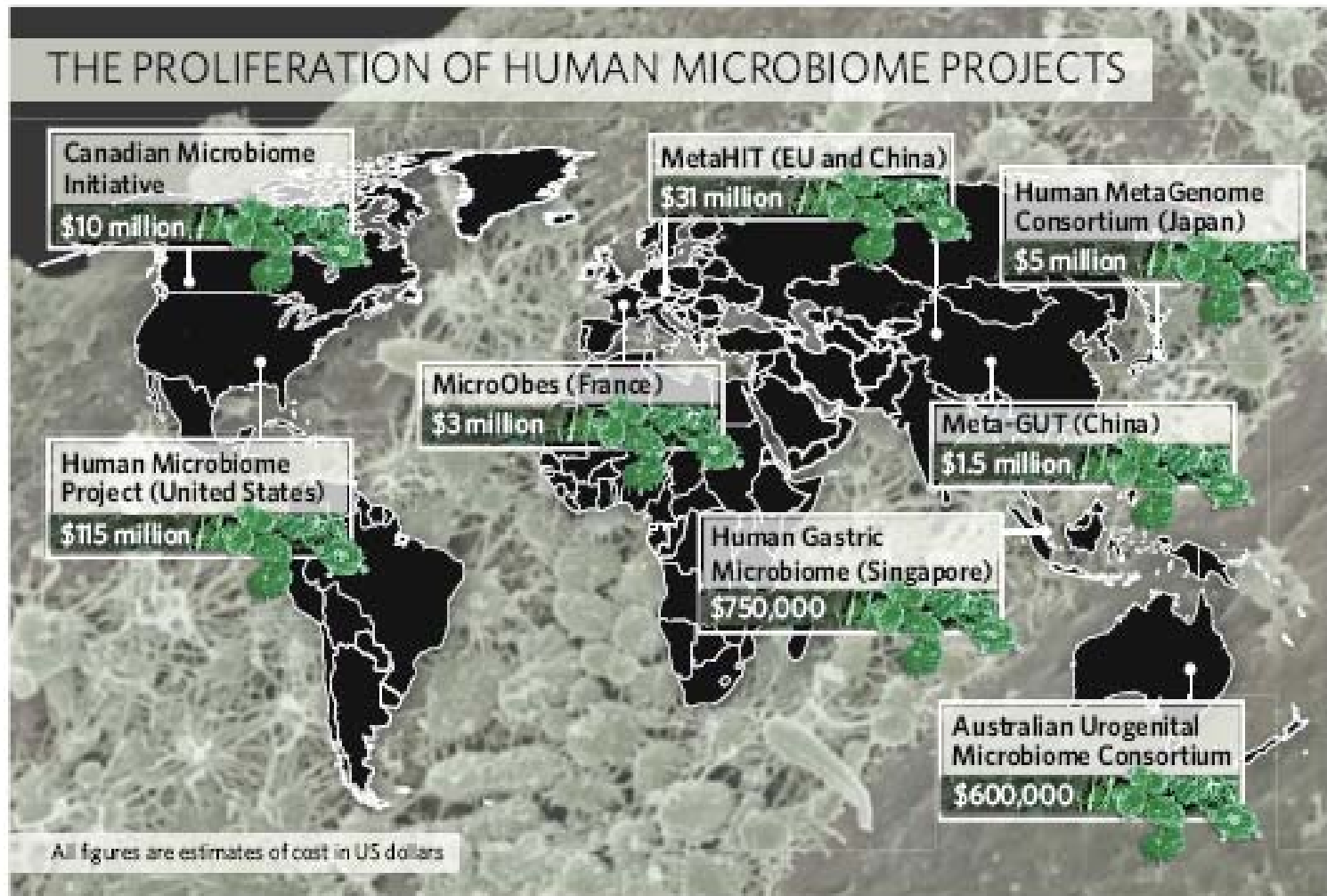
Microbiota and age

Adults vs Newborn vs Elders



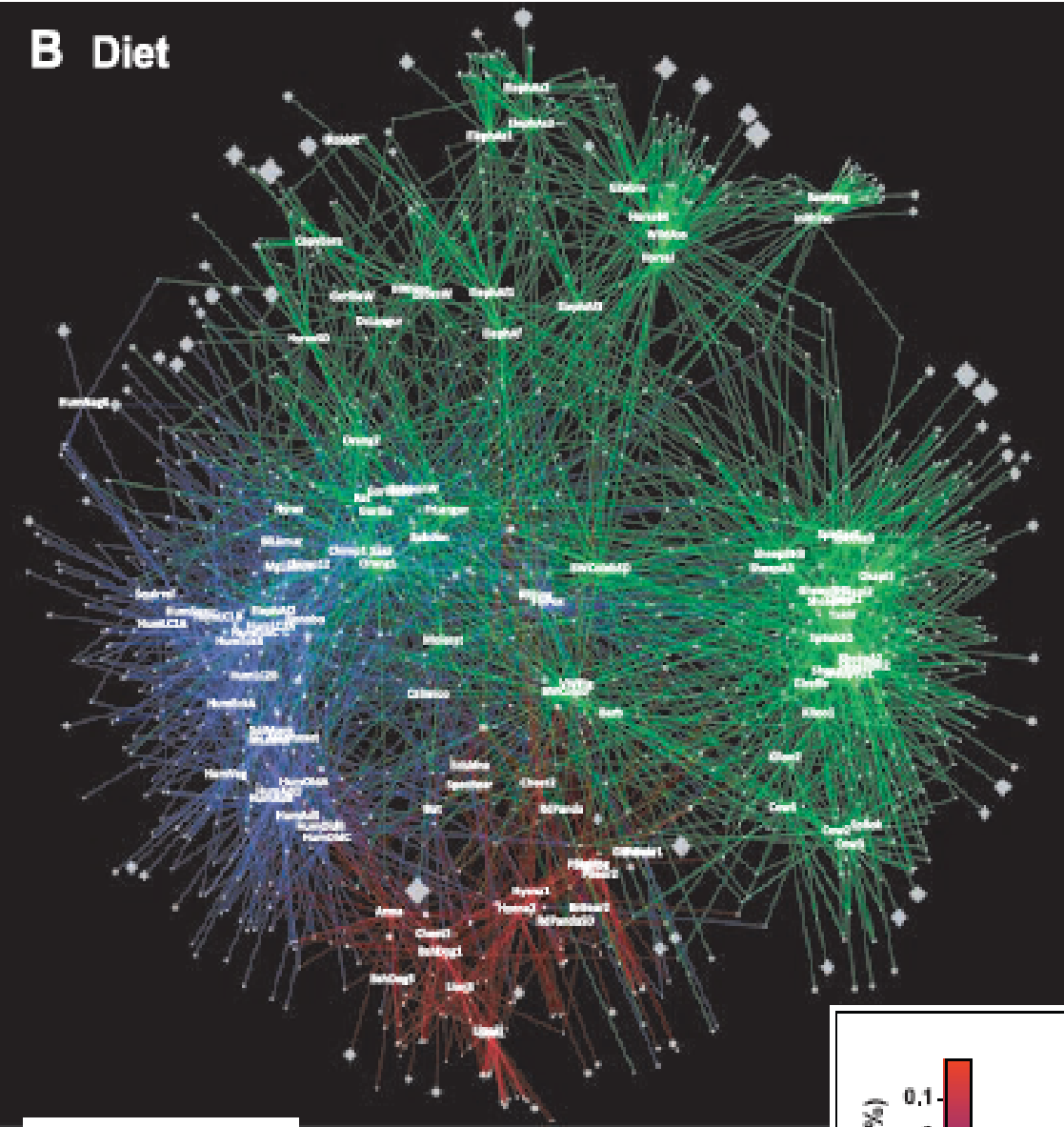
From D. Mariat et al, 2009

Le métagénom : un « challenge » mondial



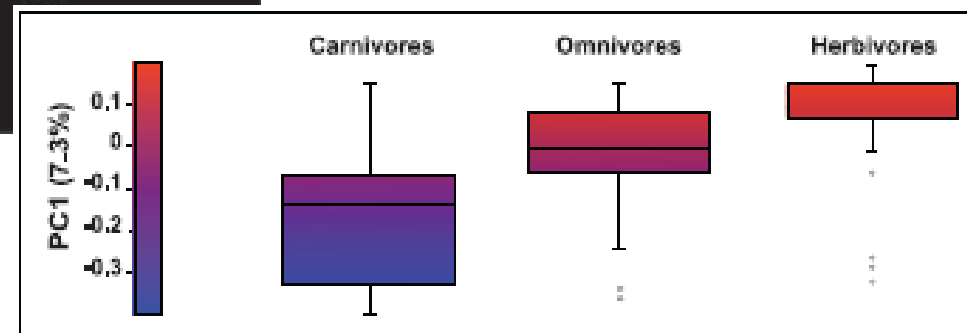
A. Mullard - Nature, May 2008

B Diet

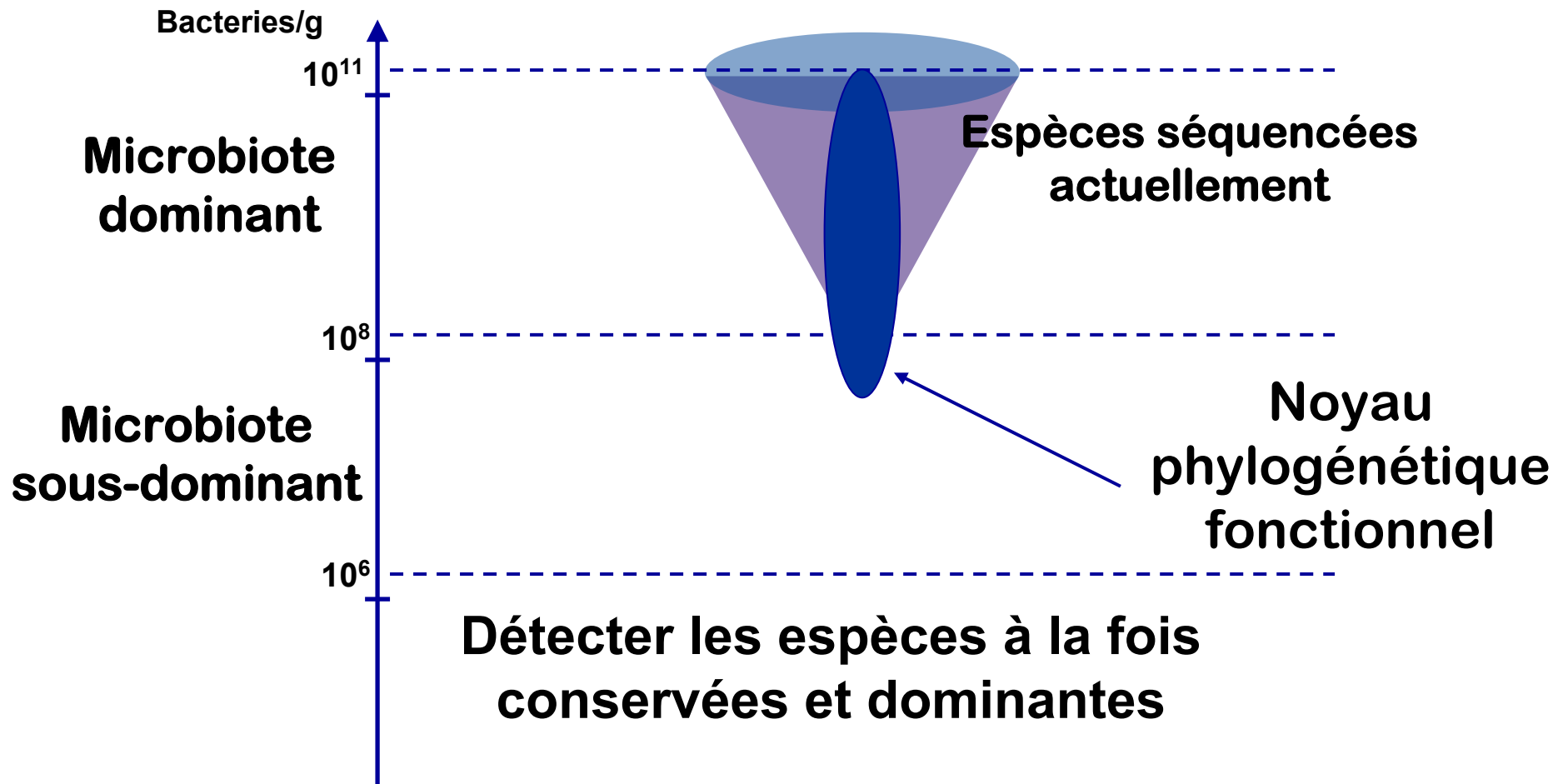


Les données du métagénomique

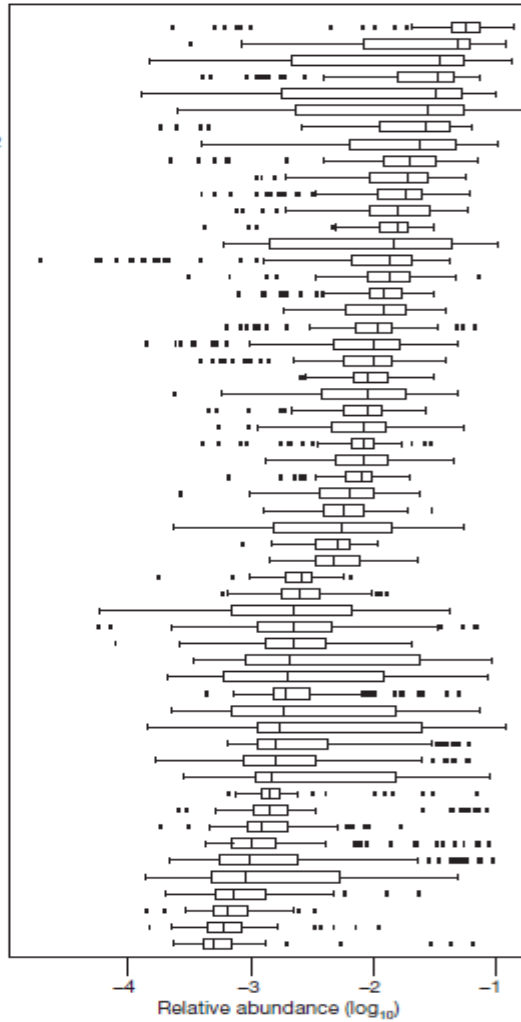
Ley et al, science 2008



Recherche d'un noyau phylogénétique du microbiote intestinal humain



Bacteroides uniformis
Alistipes putredinis
Parabacteroides merdae
Dorea longicatena
Ruminococcus bromii L2-63
Bacteroides caccae
Clostridium sp. SS2-1
Bacteroides thetaiotaomicron VPI-5482
Eubacterium hallii
Ruminococcus torques L2-14
 Unknown sp. SS3 4
Ruminococcus sp. SR1 5
Faecalibacterium prausnitzii SL3 3
Ruminococcus lactaris
Collinsella aerofaciens
Dorea formicifera
Bacteroides vulgatus ATCC 8482
Roseburia intestinalis M50 1
Bacteroides sp. 2_1_7
Eubacterium siraeum 70 3
Parabacteroides distasonis ATCC 8503
Bacteroides sp. 9_1_42FAA
Bacteroides ovatus
Bacteroides sp. 4_3_47FAA
Bacteroides sp. 2_2_4
Eubacterium rectale M104 1
Bacteroides xylinosolvens XB1A
Coprococcus comes SL7 1
Bacteroides sp. D1
Bacteroides sp. D4
Eubacterium ventriosum
Bacteroides dorei
Ruminococcus obaeum A2-162
Subdoligranulum variabile
Bacteroides capillosus
Streptococcus thermophilus LMD-9
Clostridium leptum
Holdemania filiformis
Bacteroides stercoris
Coprococcus eutactus
Clostridium sp. M62 1
Bacteroides eggertthii
Butyrivibrio crossotus
Bacteroides finegoldii
Parabacteroides johnsonii
Clostridium sp. L2-50
Clostridium nexile
Bacteroides pectinophilus
Anaerotruncus colihominis
Ruminococcus gnavus
Bacteroides intestinalis
Bacteroides fragilis 3_1_12
Clostridium asparagiforme
Enterococcus faecalis TX0104
Clostridium scindens
Blaautia hansenii



Existence d'un core génome : 57 espèces partagées par plus de 90% des individus.

Diversity, stability and resilience of the human gut microbiota

Catherine A. Lozupone¹, Jesse I. Stombaugh¹, Jeffrey I. Gordon², Janet K. Jansson^{3,4} & Rob Knight^{1,5,6}

represent less than 0.5% of the microbes present²⁰. As the data set expands to include developing countries and a broader age range^{4,21}, the concept that there is a core set of species in the microbiota is becoming more unlikely.

Despite the highly divergent compositions of gut microbiota across individuals, the functional gene profiles are quite similar (Fig. 4). This

Although taxonomic composition is far more variable than functional gene composition, at a general process level at least, several studies have shown a correlation between the two^{4,14,25}. Functional gene composition variation that is not well explained by taxonomic variation can indicate that phylogenetically unrelated taxa have converged on similar functions and may be crucial for identifying and understanding functional components associated with altered physiological states (Fig. 2).

Peut-on vivre sans bactéries ?



Quelles différences chez ces animaux sans germes ?

- ↘ vascularisation
- ↘ activités enzymatiques digestives
- ↘ épaisseur muscles
- ↘ production de cytokines
- ↘ niveau Ig sériques
- ↘ plaques de Peyer
- ↘ nombre de lymphocytes intra-épithéliaux

- ↗ susceptibilité aux infections
- ↗ couche de mucus
- ↗ besoin calorique (20 à 30 %)



L'obésité : l'épidémie du 21^{ème} siècle



Allessandro del Borro, par Charles Mellin

Définition - Épidémiologie de l'obésité

pays	surpoids	obésité	population totale
États-Unis	193 millions (65,7 %)	89,8 millions (30,6 %)	300 millions
Mexique	64,8 millions (62,3 %)	25,1 millions (24,2 %)	104 millions
Royaume-Uni	37 millions (62 %)	13,7 millions (23 %)	59,7 millions
Australie	11,7 millions (58,4 %)	4,4 millions (21,7 %)	20,1 millions
République Slovaque	3,1 millions (57,6 %)	1,2 million (22,4 %)	5,4 millions
Grèce	6,3 millions (57,1 %)	2,4 millions (21,9 %)	11 millions
Nouvelle-Zélande	2,2 millions (56,2 %)	0,8 million (20,9 %)	4 millions
Canada	15,6 millions (47,4 %)	4,9 millions (14,9 %)	33 millions
France	23,2 millions (37,5 %)	5,8 millions (9,4 %)	62 millions

Source OCDE 2005

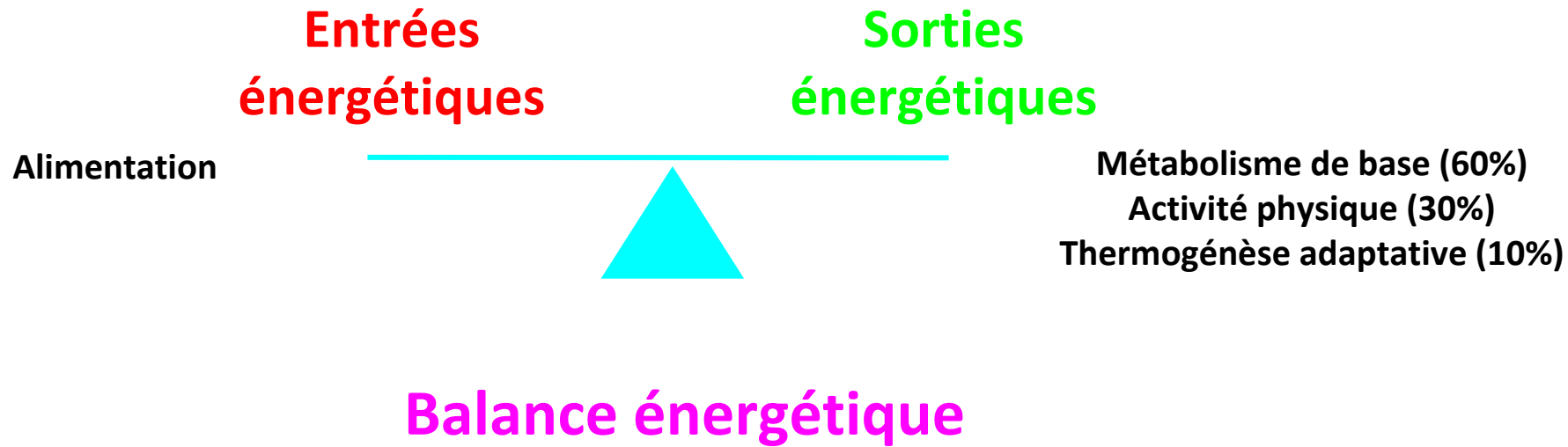
$$\text{IMC (BMI)} = \frac{\text{Poids}}{(\text{Taille})^2}$$

Chez un adulte :

- 18,5 à 25 : normal
- 25 à 30 : surpoids
- > 30 : obésité
- 35 à 40 : obésité sévère
- > 40 : obésité morbide

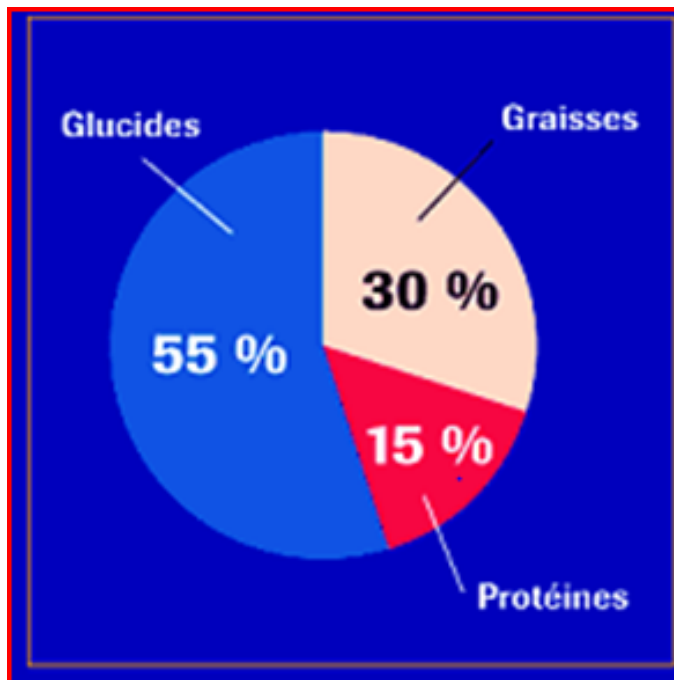
- Progression rapide mondiale
- notamment chez les jeunes
- Touche également les PVD

Tout facteur contribuant au déséquilibre du bilan énergétique

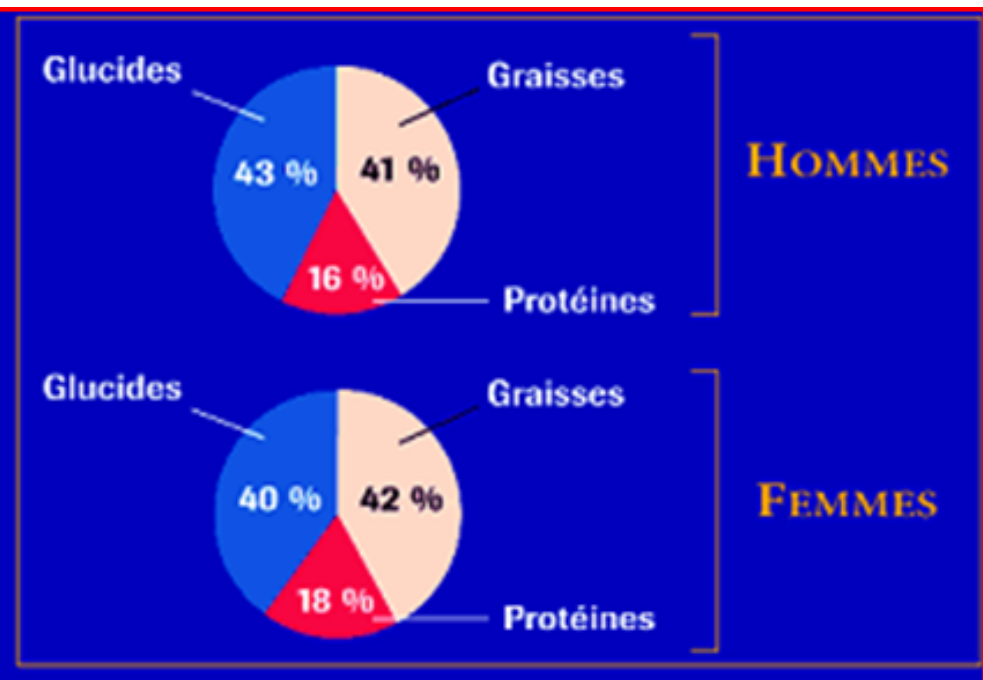


Le déséquilibre de l'alimentation

Apports recommandés



Consommation constatée



Quel lien entre microbiote et obésité ?

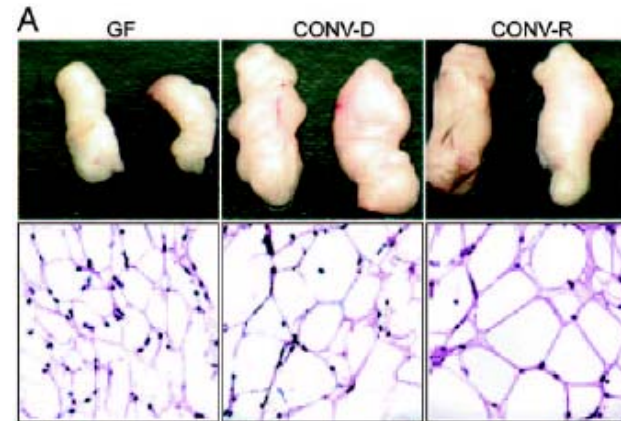
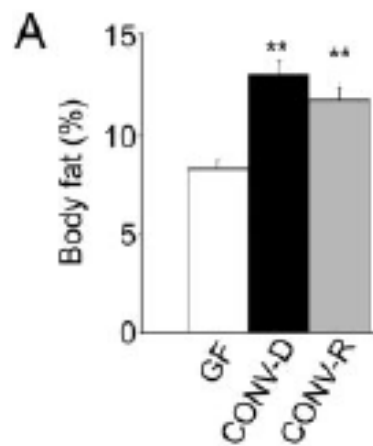
Hypothèse suggérée par les travaux de JI Gordon (USA):

Le microbiote des individus obèses est
plus efficace à extraire l'énergie à partir d'un régime nutritionnel
donné que celui d'individus maigres

The gut microbiota as an environmental factor that regulates fat storage

Fredrik Bäckhed***, Hao Ding^{#\$1}, Ting Wang¹, Lora V. Hooper***, Gou Young Koh^{††}, Andras Nagy^{\$**},
Clay F. Semenkovich^{§§}, and Jeffrey I. Gordon*†††

PNAS, 2004



Colonisation de souris sans germe par un microbiote de souris conventionnelle:
augmentation de 60% de la masse grasse en 10-14 jours, malgré une diminution de
la consommation d'aliments

Incidence du transfert du microbiote de souris obèses ?

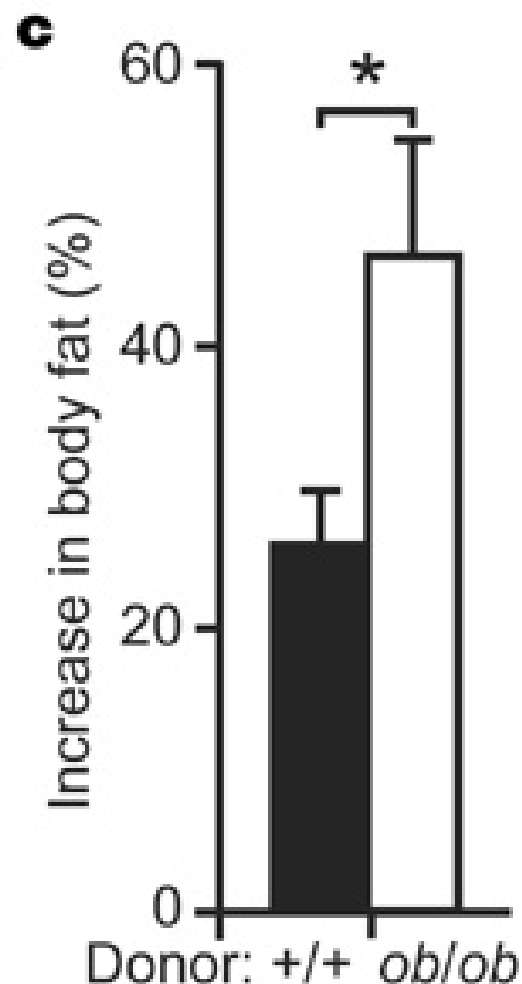
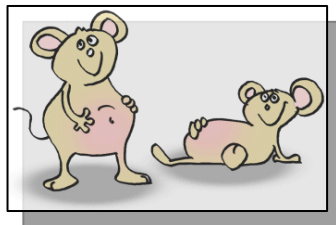


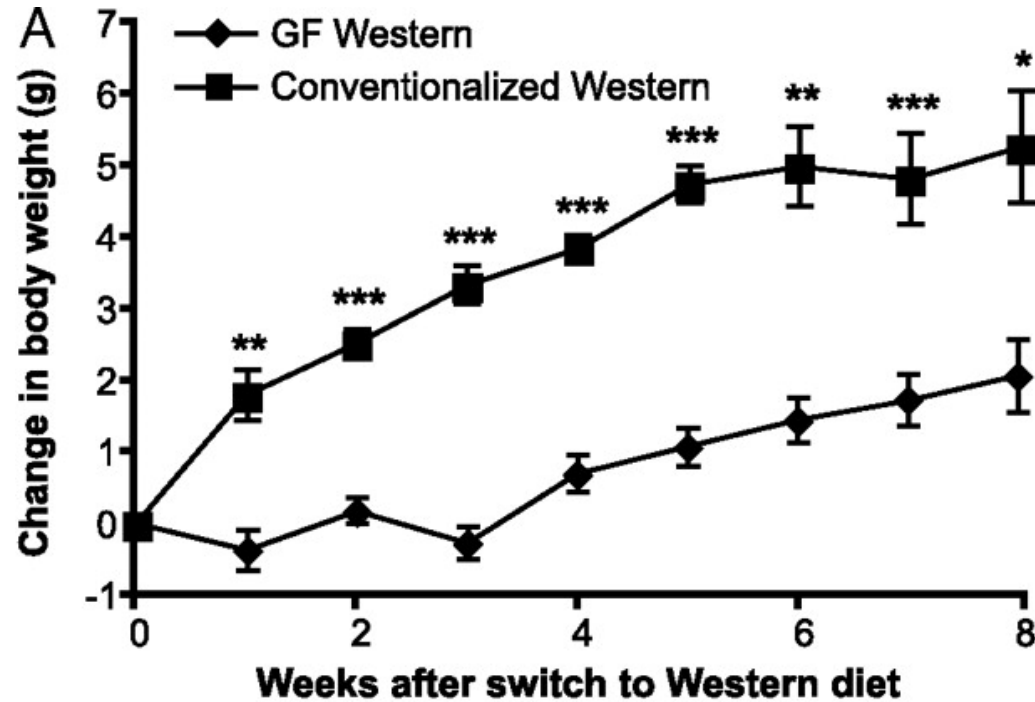
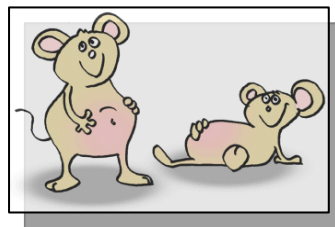
Fig 3c Colonization de souris GF WT C57BL/6J avec un microbiote caecal de souris minces (+/+) ou obèses (ob/ob) . Taux de graisse totale mesurée avant et après 2 semaines de colonisation.



NATURE | Vol 444 | 21/28 December 2006

Les souris colonisées par un microbiote de souris ob/ob ont une augmentation significative de la graisse totale=>le microbiote des souris ob/ob a une plus grande efficacité à récupérer de l'énergie des résidus alimentaires

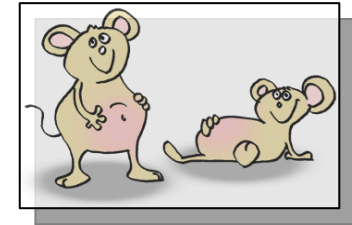
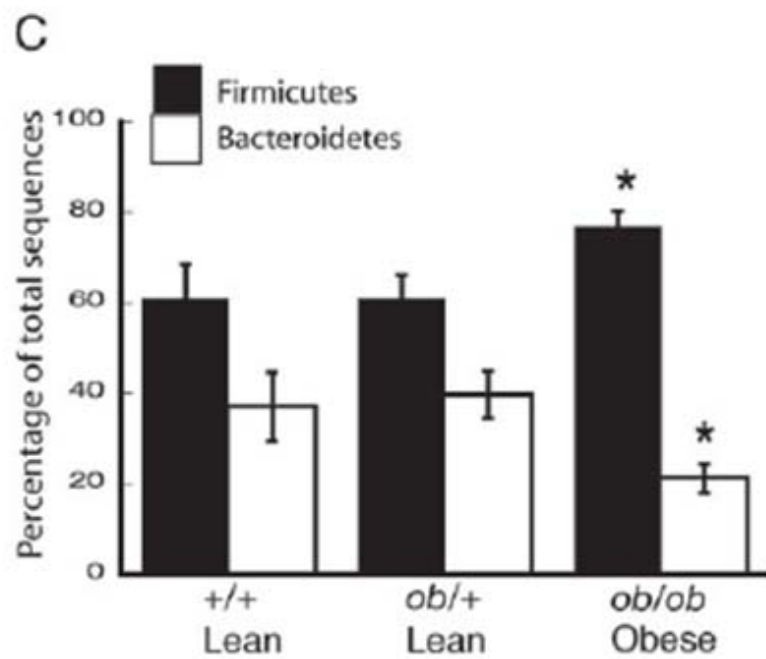
Incidence de régime « surgras » chez des souris avec ou sans microbiote ?



Les souris sans germes sont protégées contre l'obésité induite par l'alimentation

Equilibre du microbiote et obésité ?

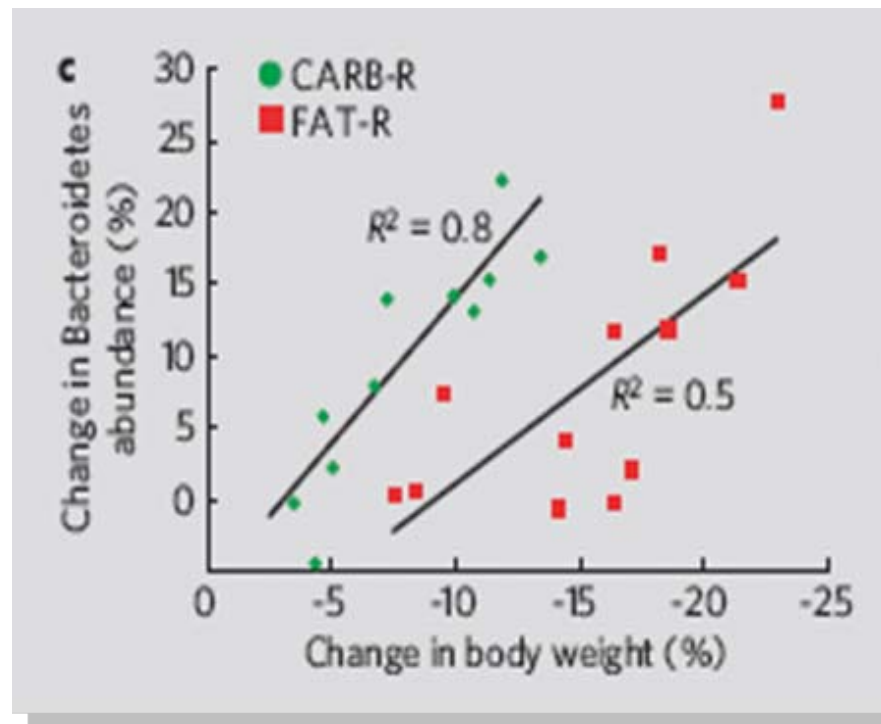
Analyse de 5088 séquences de gènes de 16S rRNA du microbiote de souris mince, mince ob et ob/ob



11070–11075 | PNAS | August 2, 2005 | vol. 102 | no. 31

Le ratio Firmicutes / Bacteroidetes serait-il la clef ?

Incidence du régime sur l'équilibre du microbiote Intestinal humain ?



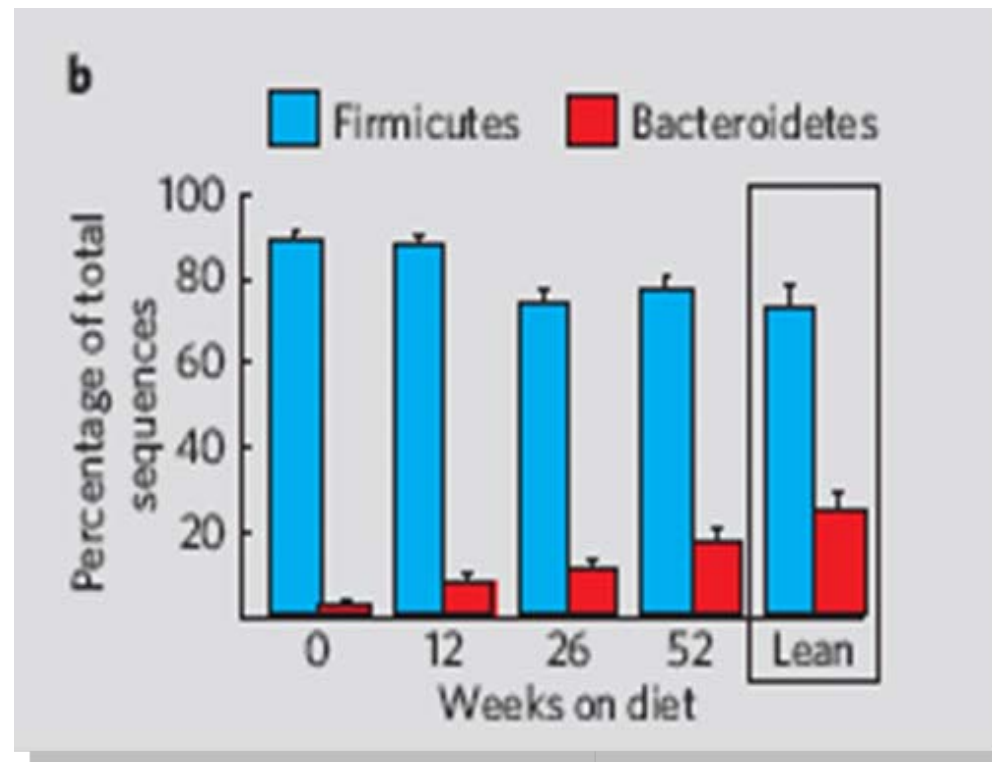
MICROBIAL ECOLOGY

Human gut microbes associated with obesity

NATURE | Vol 444 | 21/28 December 2006

A partir de 6% de perte de poids chez les obèses, on observe une modification du ratio Firmicutes / Bacteroidetes

Incidence du régime sur l'équilibre du microbiote Intestinal humain ?



MICROBIAL ECOLOGY

Human gut microbes associated with obesity

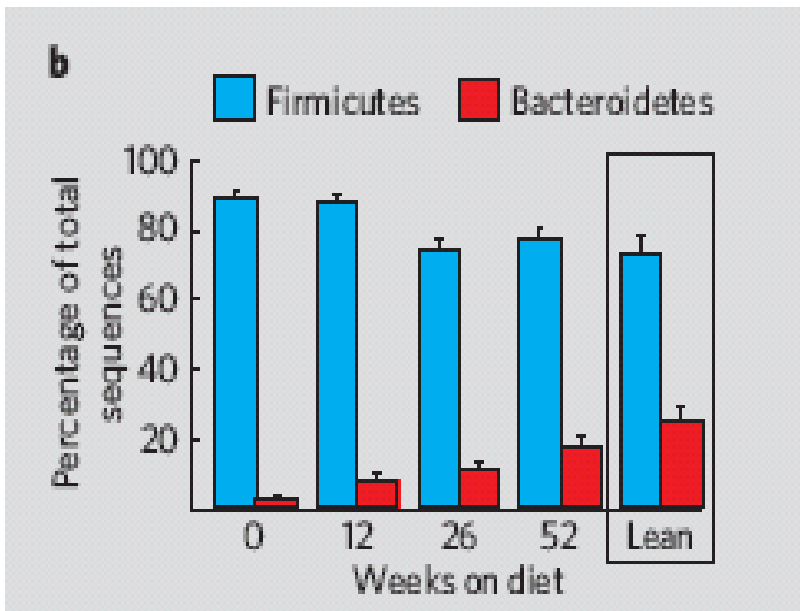
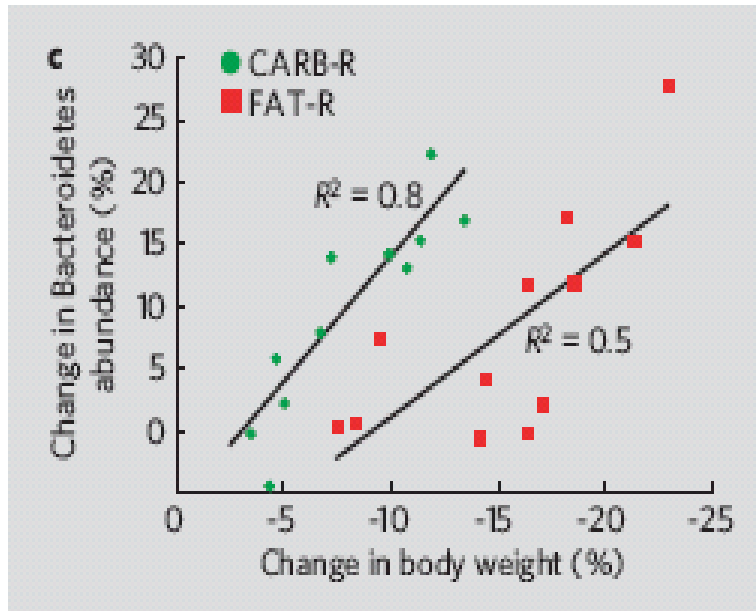
NATURE | Vol 444 | 21/28 December 2006

**La mise au régime d'individus obèses rééquilibre leur ratio
Firmicutes / Bacteroidetes**

Human gut microbes associated with obesity

Ruth E. Ley, Peter J. Turnbaugh, Samuel Klein,
Jeffrey I. Gordon

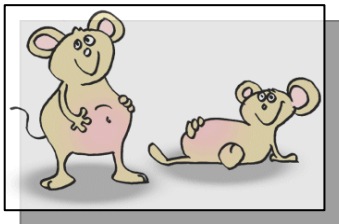
NATURE | Vol 444 | 21/28 December 2006



A partir de 6% de perte de poids chez les individus obèses, on observe une modification de l'équilibre du microbiote : Firmicutes / Bacteroidetes

An obesity-associated gut microbiome with increased capacity for energy harvest

Peter J. Turnbaugh¹, Ruth E. Ley¹, Michael A. Mahowald¹, Vincent Magrini², Elaine R. Mardis^{1,2} & Jeffrey I. Gordon¹



NATURE | Vol 444 | 21/28 December 2006

L'augmentation des graisses est « transférable » par le microbiote des souris obèses

Le microbiote permettrait de « récupérer » de l'énergie des résidus alimentaires

Evolution du ratio *Firmicutes / Bacteroidetes* chez des obèses morbides avant et après « bypass » (collaboration avec K. Clément, La Pitié-Salpêtrière, Paris)



Microbiote et obésité	
<i>Firmicutes / Bacteroidetes</i>	
Before gastric bypass	121 ± 28 (A)
3 months after*	12 ± 6 (B)
6 months after*	21 ± 8 (B)
Lean persons	11 ± 0.4 (B)

(*: with loss of weight)

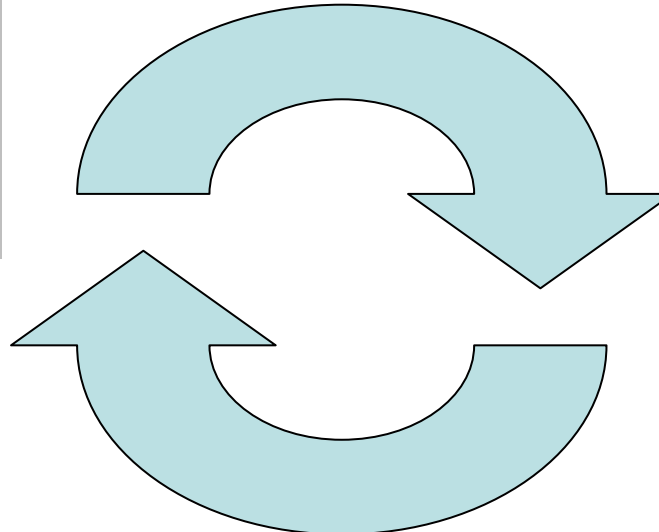
Data not sharing the same letter are significantly different
to the human population, at $P<0.05$.

Aussi le programme MicObes coordonné par J. Doré
⇒ Évolution de la nature du microbiote chez 50 personnes
durant régime et stabilisation.

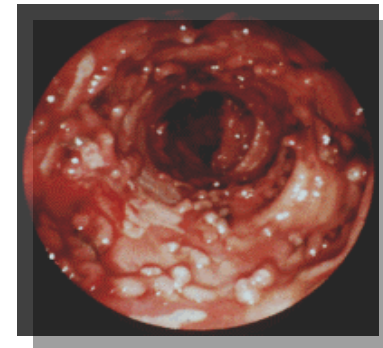
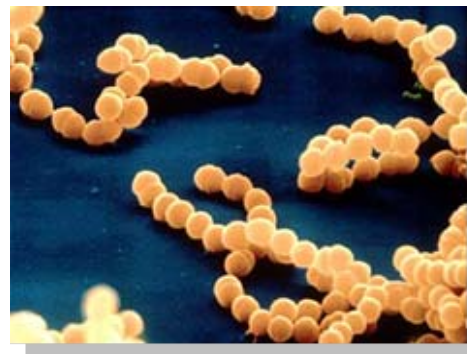
Beaucoup de questions posées sur les liens Microbiote/obésité/inflammation



Obésité



Microbiote



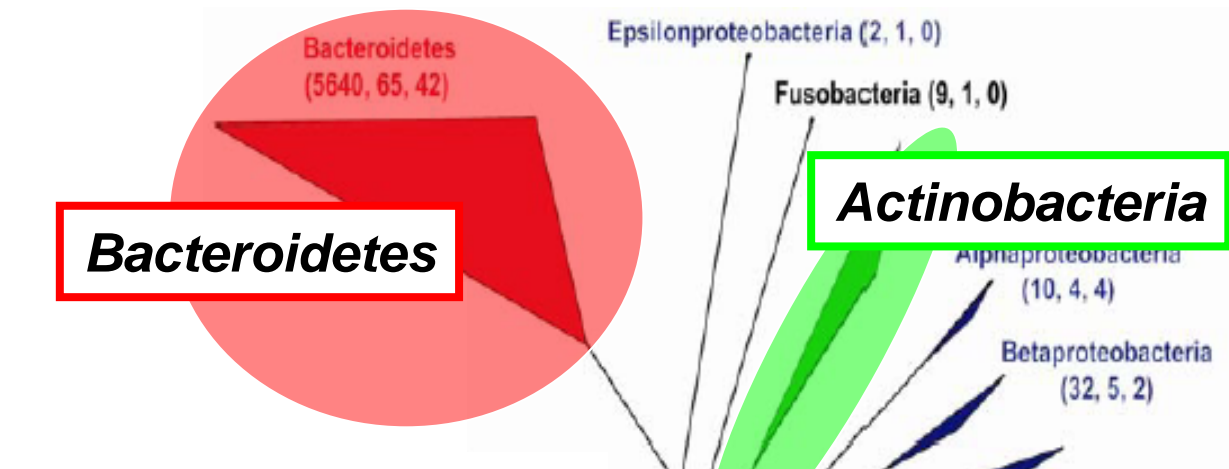
Inflammation

Conclusions-perspectives

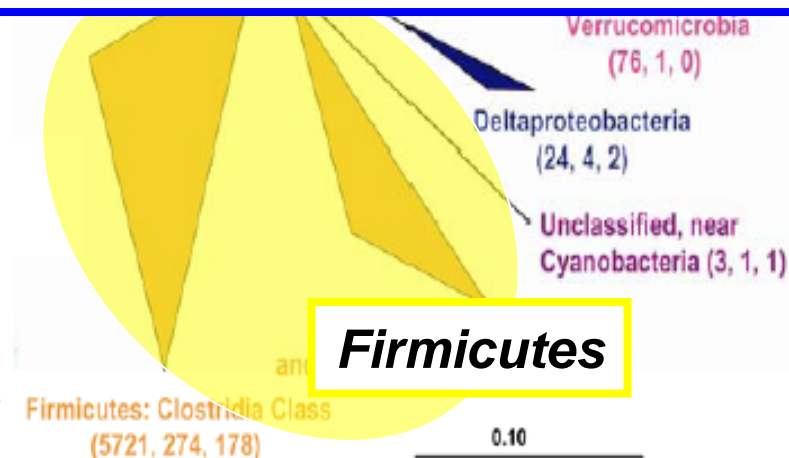


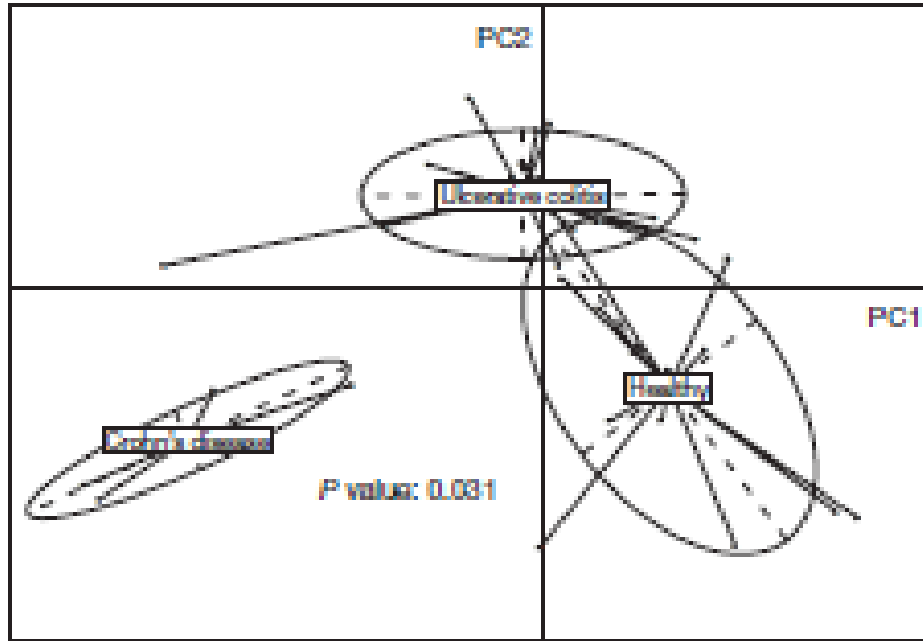
- L'alimentation ou des probiotiques et/ou des prébiotiques peuvent ils changer le ratio Firm./Bact. ?
- La réduction des Firmicutes chez les obèses est-elle suffisante pour les faire maigrir ?

Le microbiote humain dominant est composé de 3 phyla majeurs

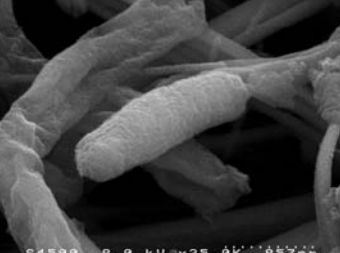


Une dysbiose dans les MICI ?





Il existe bien une différence de composition du microbiote entre les sains et les patients atteint de MCI.



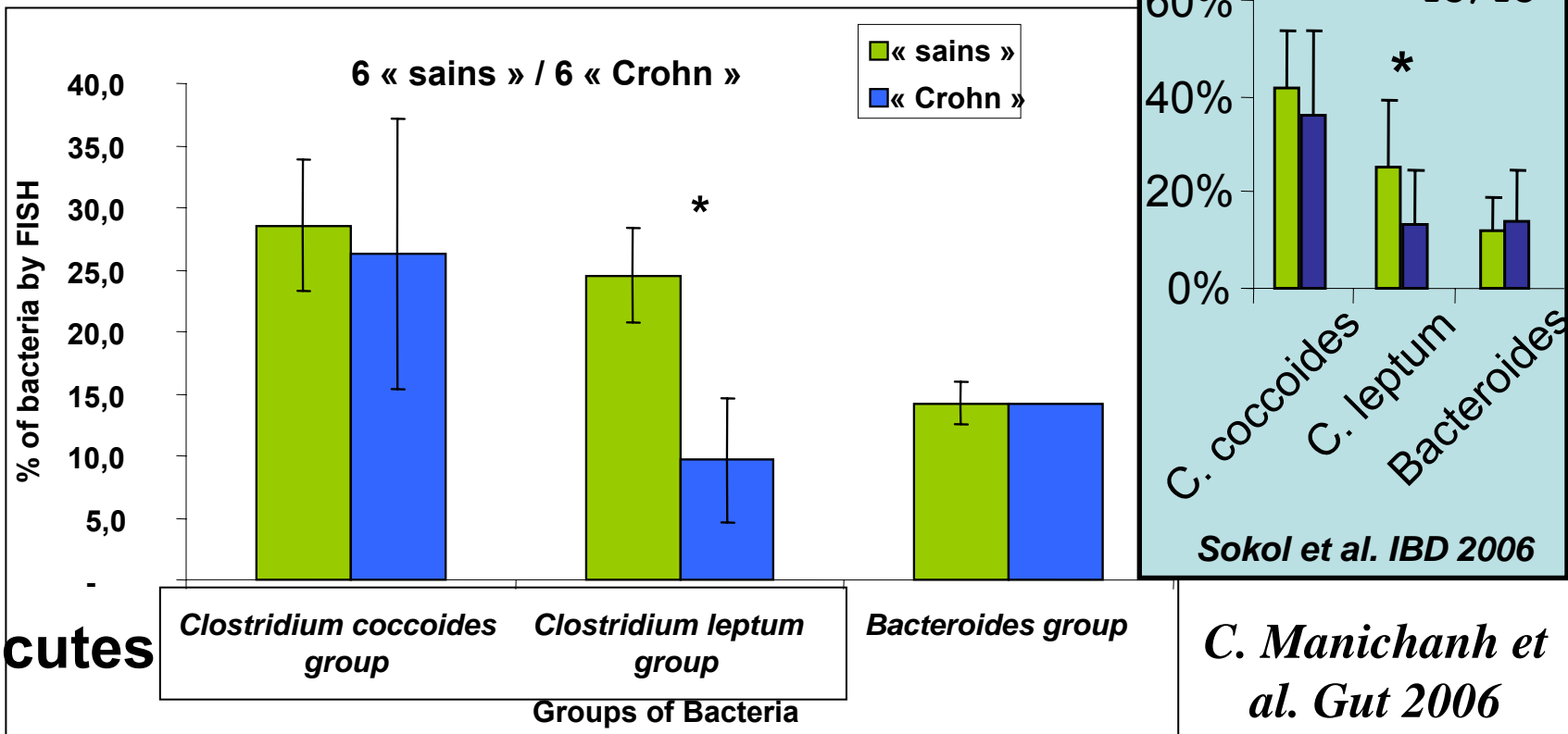
Faecalibacterium prausnitzii is an anti-inflammatory commensal bacterium identified by gut microbiota analysis of Crohn's disease patients

Harry Sokol, Béatrice Pigneux, Laurie Watterlot, Omar Lakhdari, Luis Bermúdez-Humar, Jean Gratacous, Sébastien Blugeon, Chantal Bridonneau, Jean-Pierre Furet, Gérard Corthier, Corinne Grangette, Nadia Vasquez, Philippe Pochart, Germain Trugnan, Ginette Thomas, Hervé Blottiére, Joëlle Dore, Philippe Marteau, Philippe Seksik, and Philippe Langella



Institut national
de la santé et de la recherche médicale

Reduced diversity of faecal microbiota in Crohn's disease revealed by a metagenomic approach



La proportion relative de *C. leptum* parmi les Firmicutes fécaux est plus élevée chez les sujets sains que chez les malades atteints de Crohn.

20 patients avec MC active, nécessitant une résection iléo-caecale

Seksik et al. DDW-2007

ASSISTANCE
PUBLIQUE
HÔPITAUX
DE PARIS



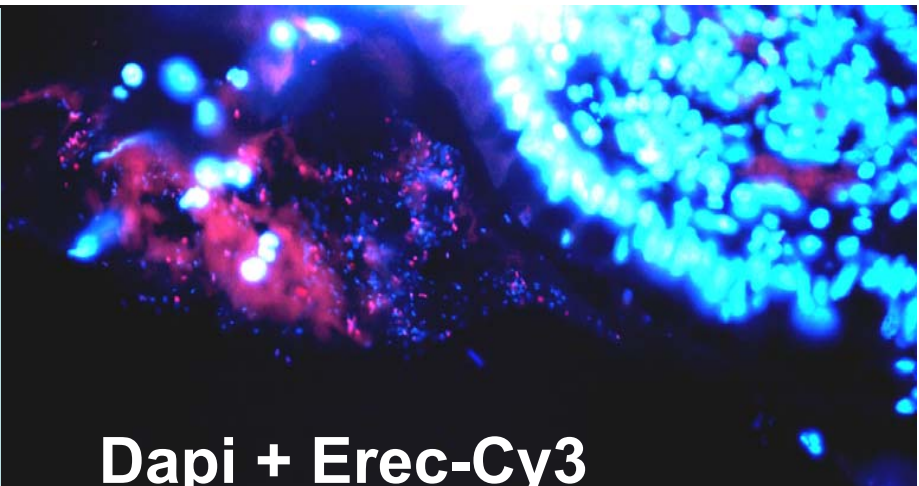
CONSERVATOIRE NATIONAL
DES ARTS ET MÉTIERS

M0
Résection chirurgicale

M6
coloscopie En rémission

analyse des biopsies par FISH

- Eub338 (*Eubacterium*)
- Bac303 (*Bacteroides-Prevotella*)
- Ent1458 (*Enterobacter*)
- Erec482 (*Clostridium coccoides*)
- Lab158 (*Lactobacillus-Enterococcus*)
- Bif164 (*Bifidobacterium*)
- Fprau645 (*F. prausnitzii*)



Dapi + Erec-Cy3

20 patients avec MC active, nécessitant une résection iléo-caecale

Seksik et al. DDW-2007

ASSISTANCE
PUBLIQUE HÔPITAUX
DE PARIS



cham
CONSERVATOIRE NATIONAL
DES ARTS ET MÉTIERS

M0
Résection chirurgicale

M6
coloscopie En rémission

analyse des biopsies par FISH

- Eub338 (*Eubacterium*)
- Bac303 (*Bacteroides-Prevotella*)
- Ent1458 (*Enterobacter*)
- Erec482 (*Clostridium coccoides*)
- Lab158 (*Lactobacillus-Enterococcus*)
- Bif164 (*Bifidobacterium*)
- Fprau645 (*F. prausnitzii*)

F. prausnitzii à M0
 $3.3\% \pm 3.4$ → Rémission at
M6

vs
 $0.3\% \pm 0.5$ → Rechute à M6⁵⁷

Firmicutes / *F. prausnitzii*

1. Diminution de Firmicutes et de *F. prausnitzii* en particulier dans le microbiote de patients ayant une inflammation intestinale
2. Diminution de ***Faecalibacterium prausnitzii***, un membre majeur des Firmicutes, associée avec un risque élevé de récidive postopératoire de MC iléale

***F. prausnitzii* semble important pour l'homéostasie intestinale:
A-t-il des propriétés anti-inflammatoires?**

Évaluation des effets anti-inflammatoires de *F. prausnitzii*

1. Expériences *in vitro*:

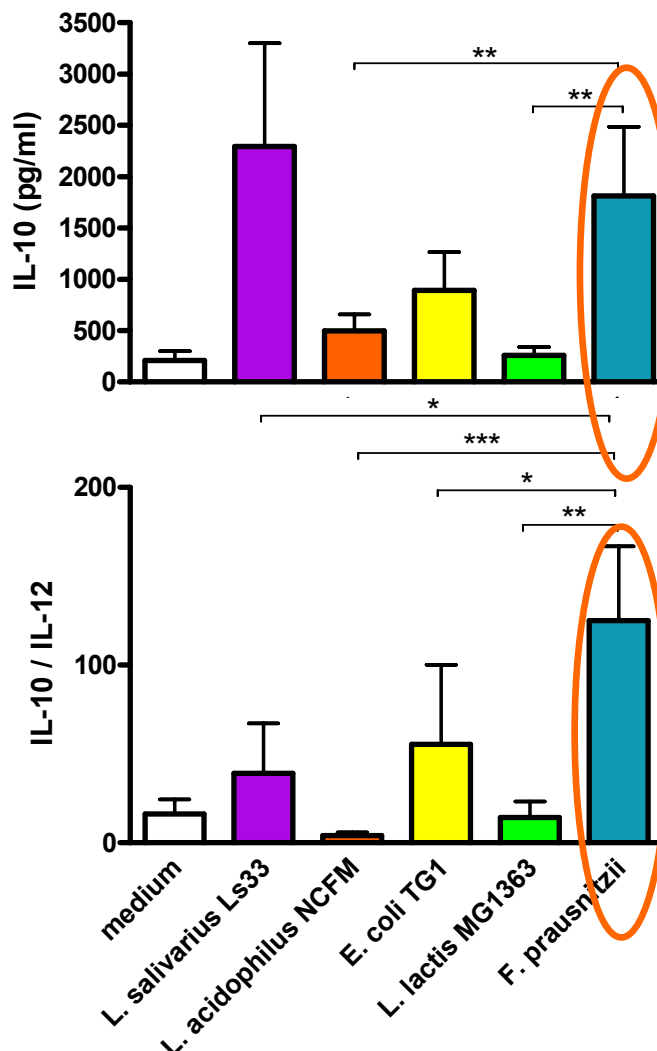
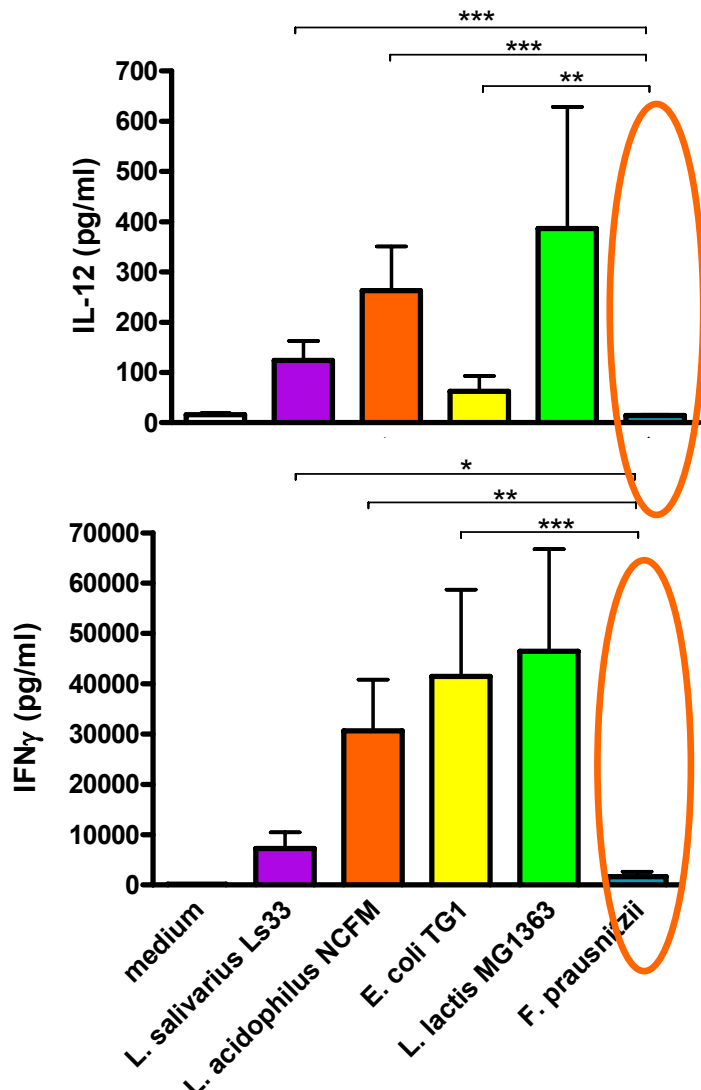
- Mesure de la sécrétion de cytokines par les cellules mononucléées du sang périphérique (**PBMC**)
- Mesure de la sécrétion d'IL-8 induite par l'IL-1 β sur **cellules Caco-2**
- Mesure de l'induction de NFK-B sur **cellules Caco-2** (exprimant de manière stable un gène rapporteur pour NFK-B)

2. Expériences *in vivo*:

- **Colite induite au TNBS** (souris Balb/c)
 - Histologie
 - Cytokines coliques (ELISA)
 - Composition du microbiote par PCR temps réel

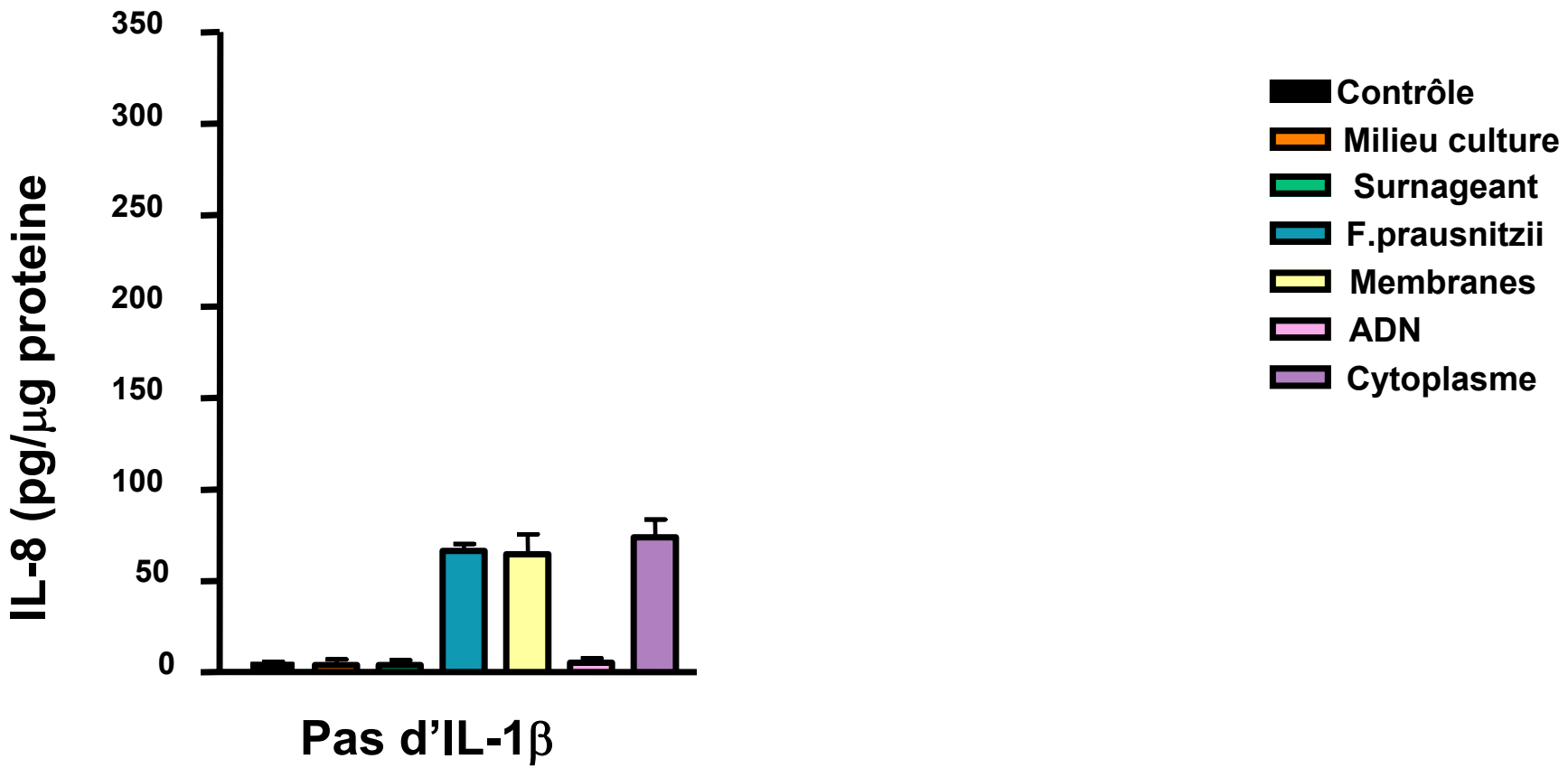
Résultats

PBMC



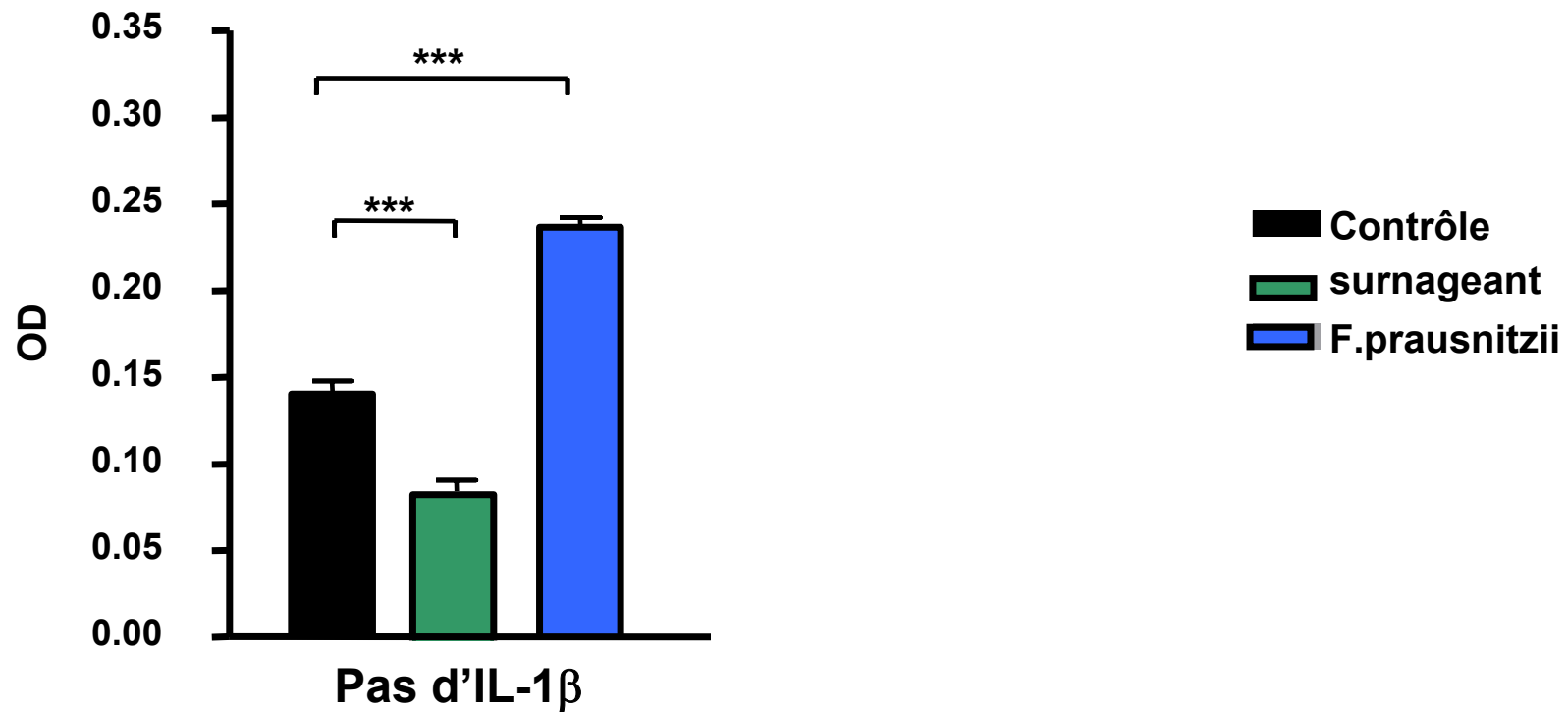
F. prausnitzii induit une très faible sécrétion d'IL-12 et d'IFN- γ et une forte sécrétion d'IL-10

Sécrétion d'IL-8 induite par l'IL-1 β sur cellules Caco-2



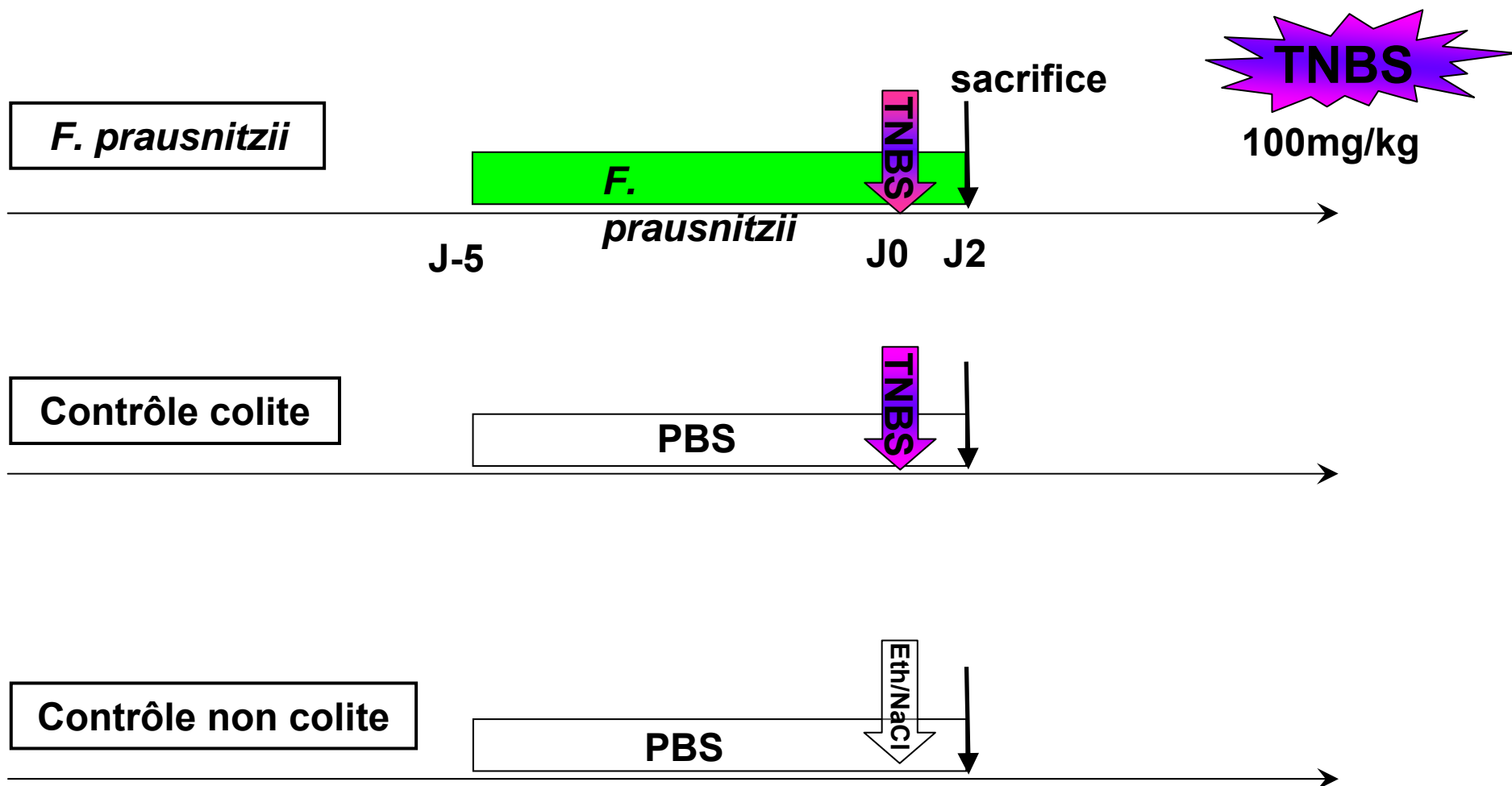
F. prausnitzii n'a pas d'effet sur la sécrétion d' IL-8 induite par l'IL-1 β alors que le *surnageant* la réduit

Induction de NF-KB sur cellules Caco-2



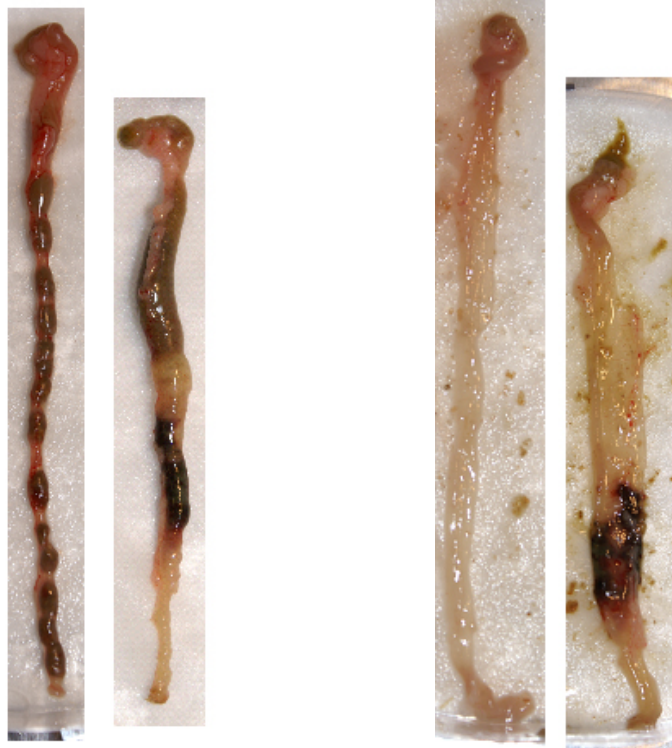
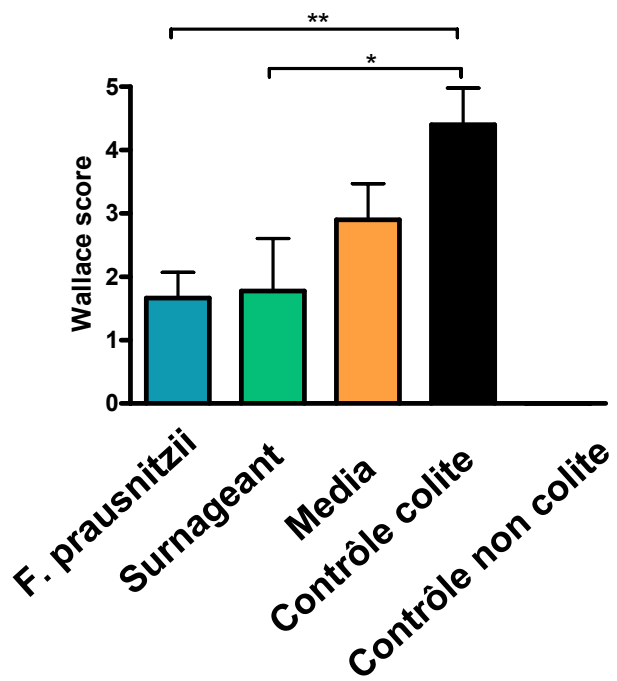
Sur cellules Caco-2 transfectées avec un gène rapporteur pour NF κ B, *F. prausnitzii* n'a pas d'effet sur l'activation de NF κ B induite par l'IL-1 β alors que le **surnageant** la bloque

Colite induite au TNBS : Protocole d'administration de *F. prausnitzii*



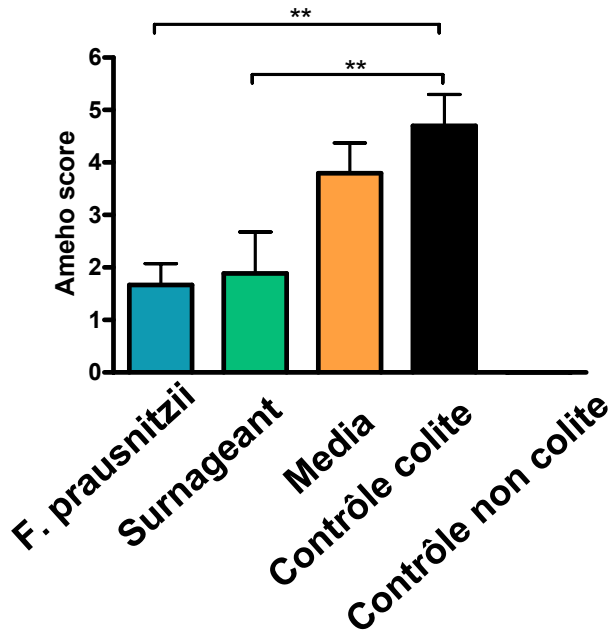
TNBS

Score macroscopique de Wallace



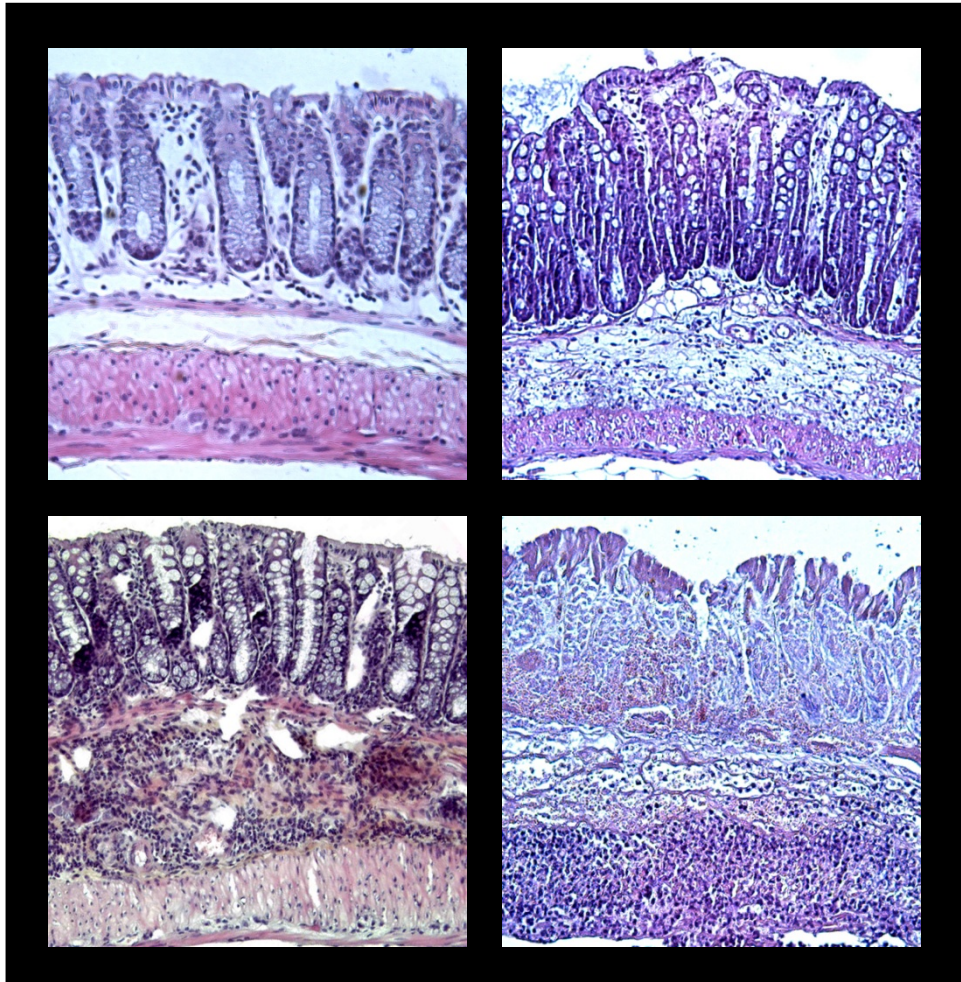
TNBS

Score histologique d'Ameho



Normal

Ameho 1-2



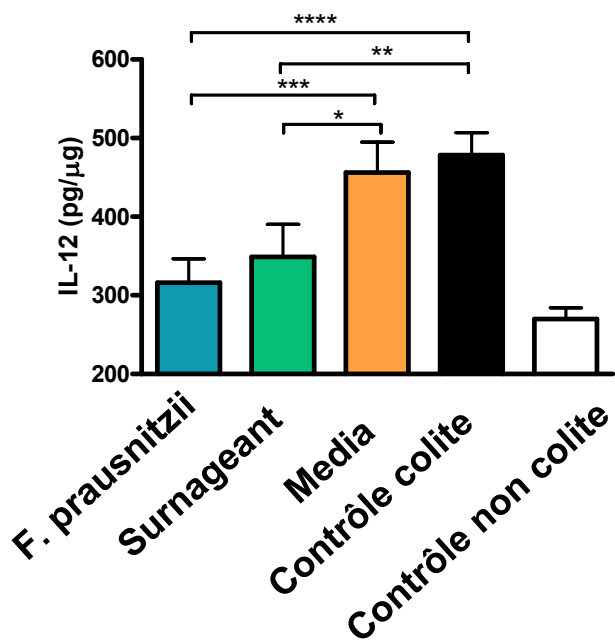
Ameho 3-4

Ameho 5-6⁶⁶

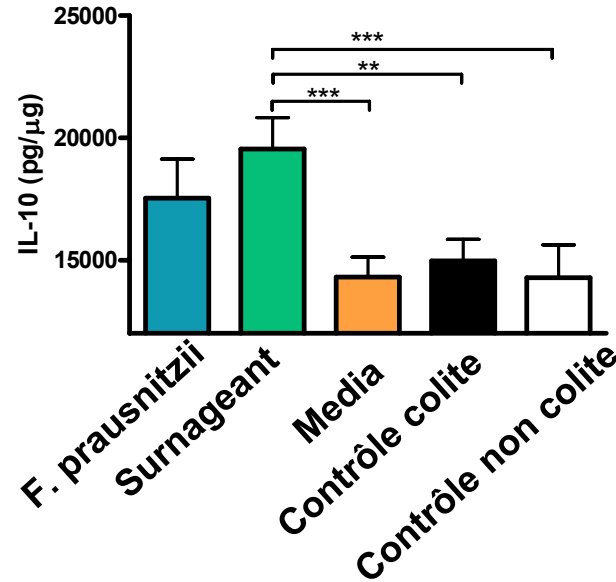
TNBS

Cytokines coliques

IL-12

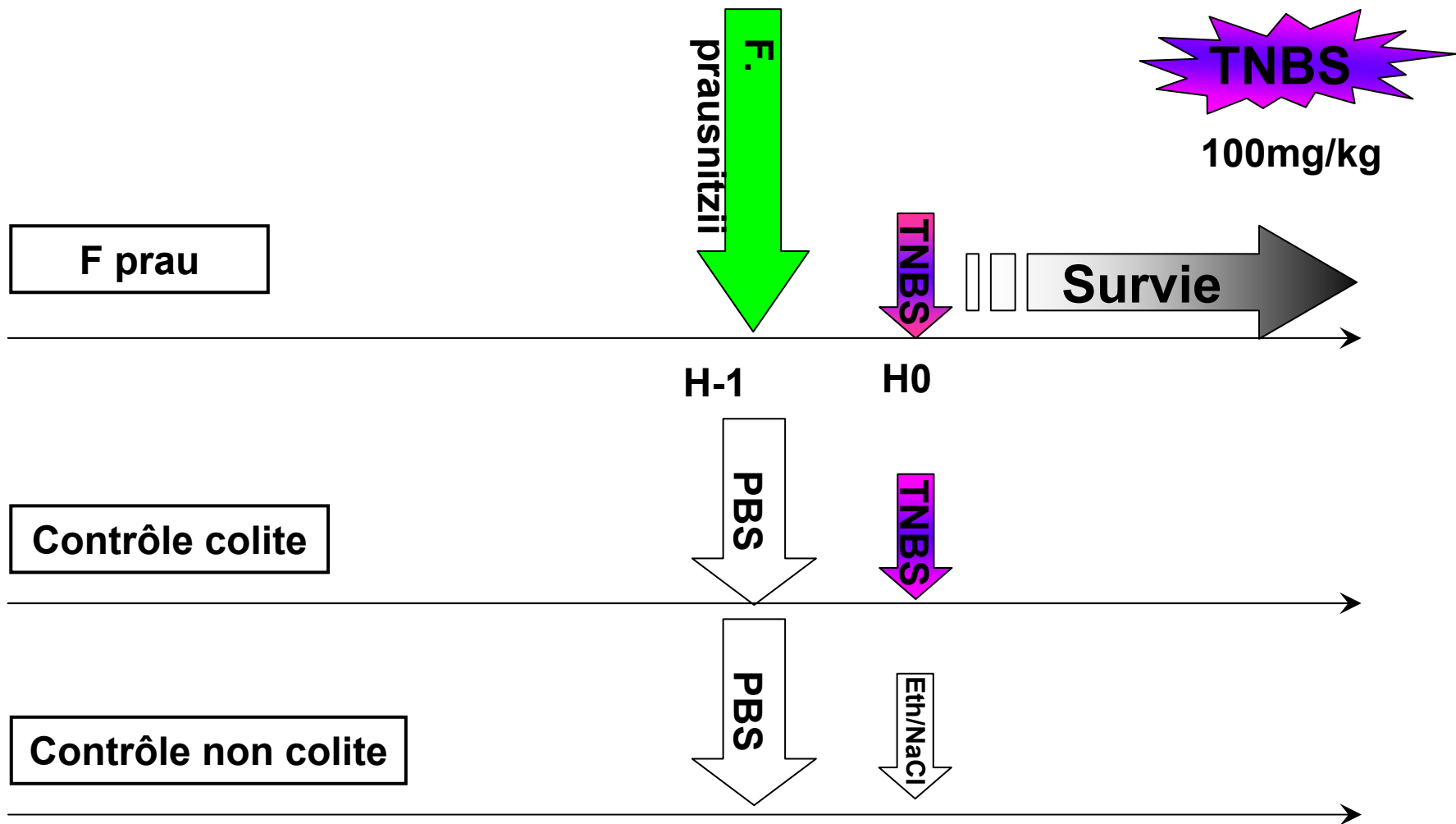


IL-10



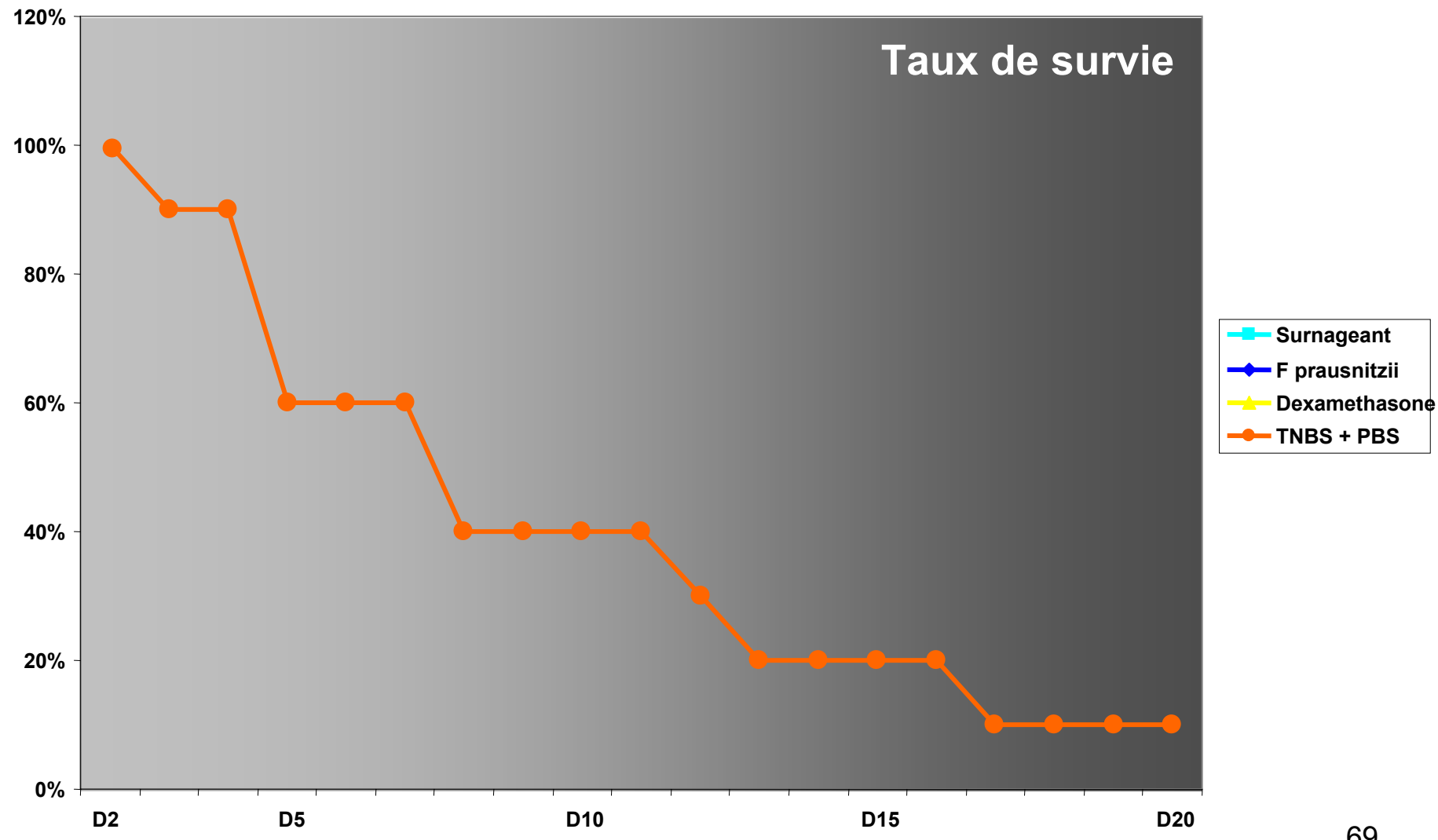
Colite au TNBS:

Administration intraperitoneal de *F. prausnitzii*



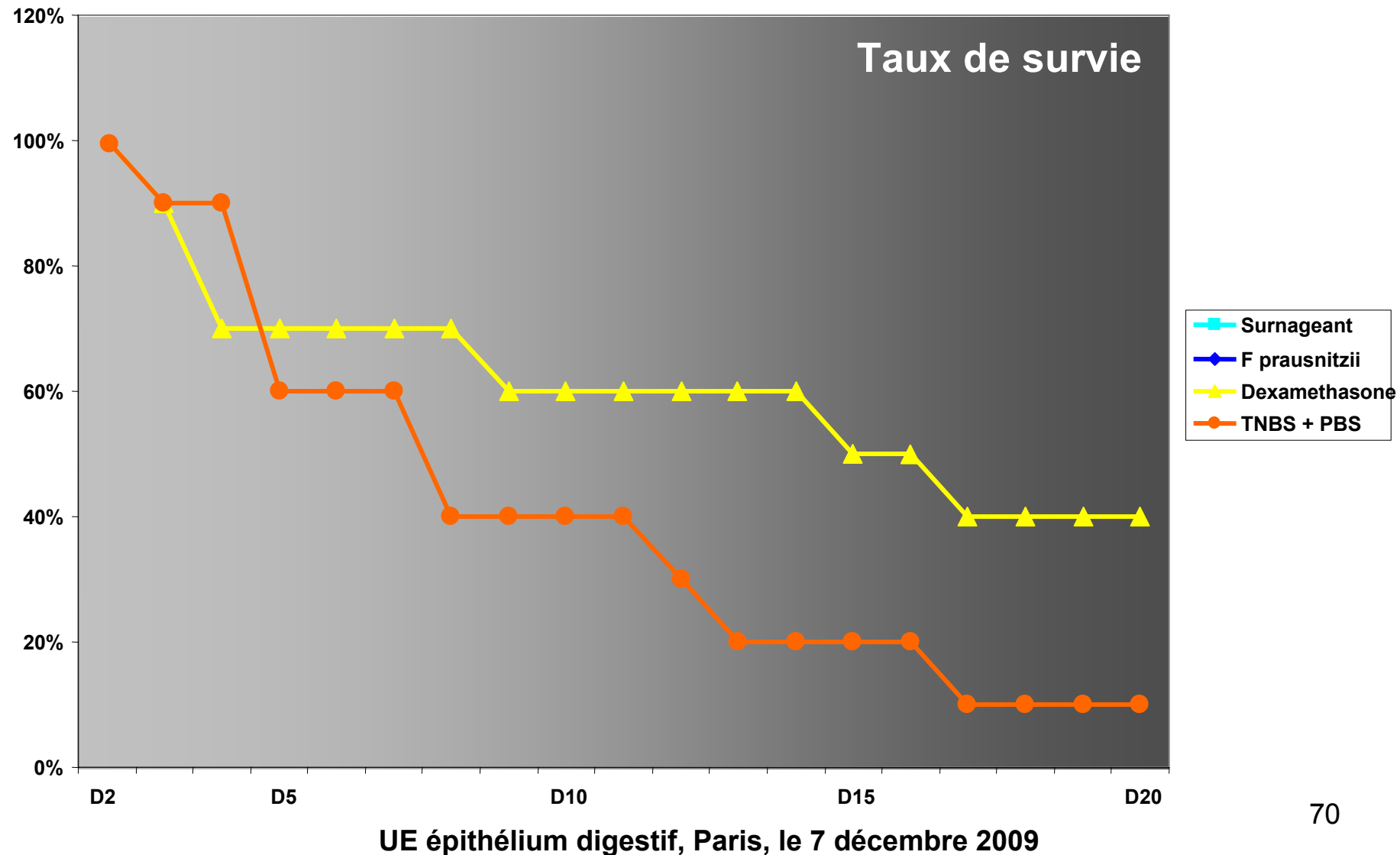
Colite au TNBS:

Administration intraperitoneal de *F. prausnitzii*



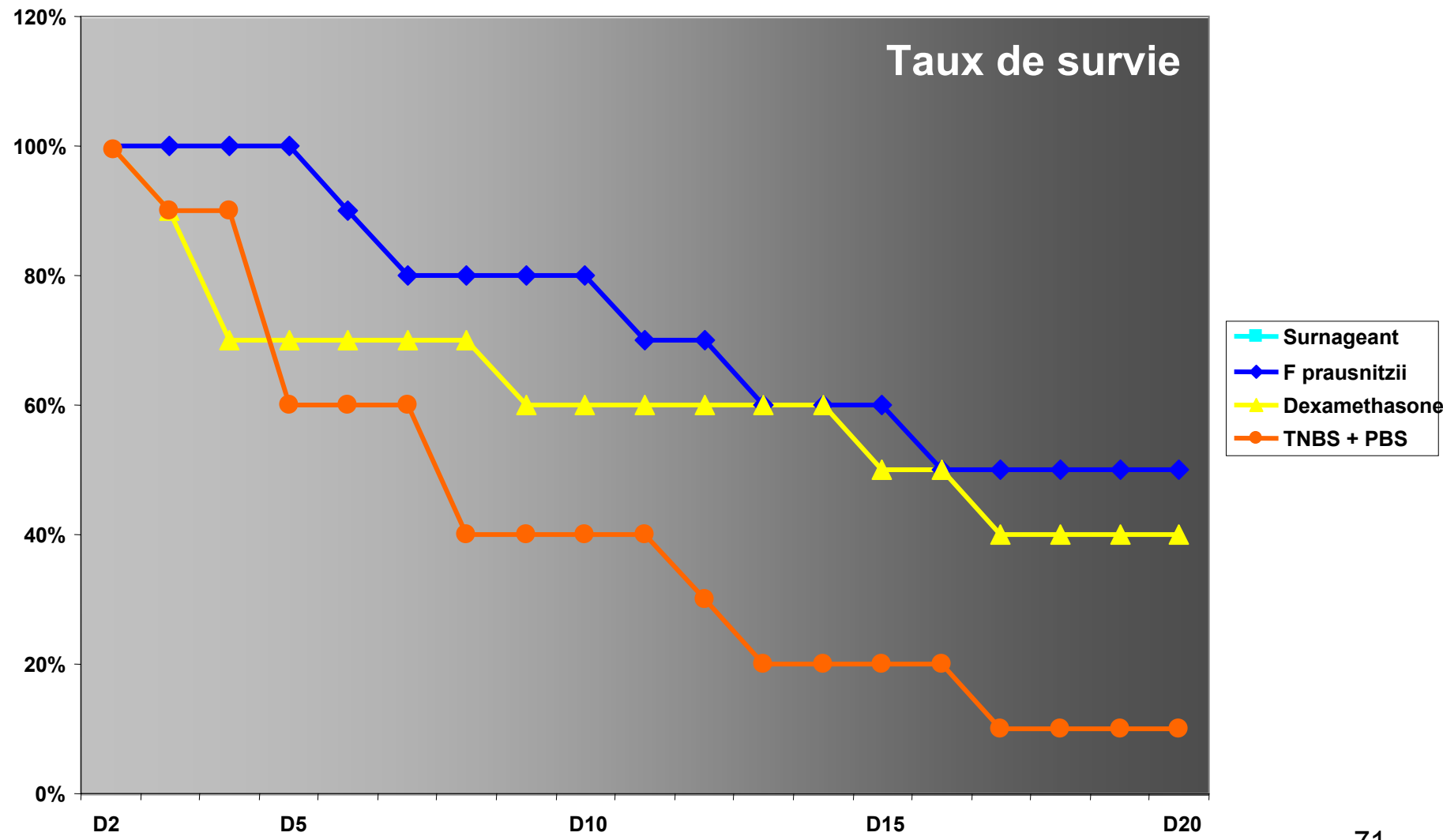
Colite au TNBS:

Administration intraperitoneal de *F. prausnitzii*

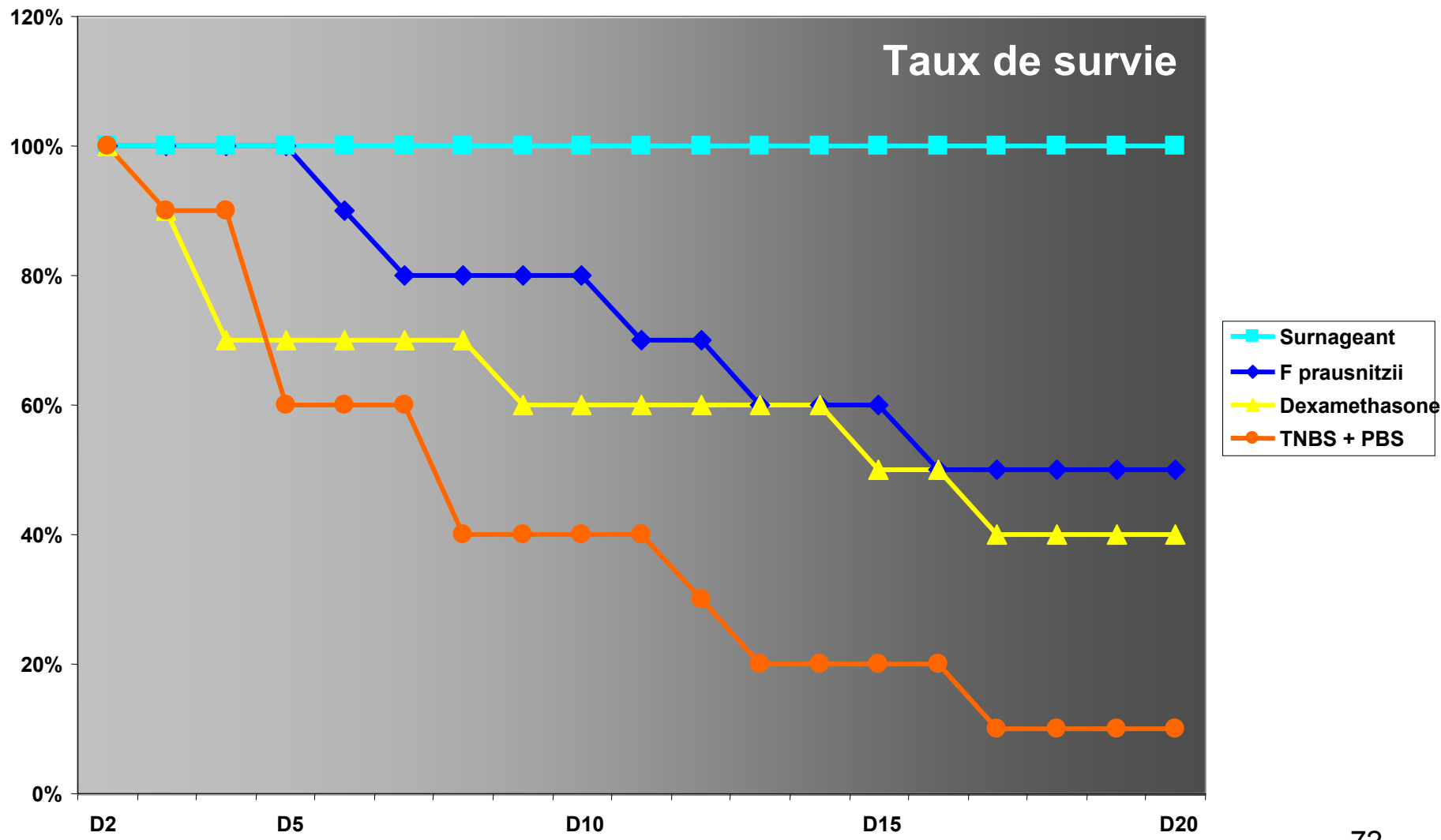


Colite au TNBS:

Administration intraperitoneal de *F. prausnitzii*



Colite au TNBS: Administration intraperitoneale de *F. prausnitzii*



Conclusion

- *F. prausnitzii* a des propriétés anti-inflammatoires *in vitro* et *in vivo*
- Ces effets sont en partie due à des **métabolites secrétés** dans le surnageant bloquant l'activation de NFkB et la sécrétion d'IL-8

Conclusion

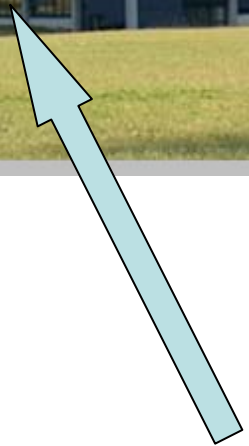
F. prausnitzii a été identifié par une
approche rationnelle basée sur
l'analyse comparative du microbiote
de patients et de sujets sains

Perspectives

- Rééquilibrer la dysbiose en utilisant *F. prausnitzii* dans le traitement des MICI
- Identifier et isoler les métabolites actifs

F. prau**biotique**

Un peu de pub pour terminer...



On est là !

Coordonnées

- **Jean-Marc CHATEL PhD.**
Interactions des bactéries commensales et probiotiques avec l'hôte
MICALIS, Pole Ecosystème
Bat 440
INRA Centre de Recherche de Jouy
Domaine de Vilvert
78352 Jouy en Josas cedex France
Phone : +33 1.34.65.24.68
Fax : +33 1.34.65.24.62
jean-marc.chatel@jouy.inra.fr

